

**Original Research Paper**

Investigation of iron occurrence by geophysics, geochemistry, and tectonic setting of granitoids of the East of Kuh-e Dom, Central Iran

Shiva Farangi¹, Zahra Alaminia^{1*}, Mohammad Vahedi² and Hamzeh Sadeghisorkhani³¹Department of Geology, Faculty of Sciences, University of Isfahan, Isfahan, Iran²Department of Geology, Faculty of Sciences, Lorestan University, Khorramabad, Iran³Department of Mining Engineering, Isfahan University of Technology, Isfahan, Iran**ARTICLE INFO****Article history:**

Received: 2022 September 13

Accepted: 2023 February 08

Available online: 2023 June 22

Keywords:

Granitoid

Shoshonite

Iron skarn

Continental active arc

Anarak

ABSTRACT

The studied area is located in N-Sonqor and in the Sanandaj-Sirjan zone. Field relationships and petrographic evidence show that volcanic rocks of the north of Bashirabad comprise of trachydacite to trachyandesite (and altered basaltic trachyandesite) and in the south of this area, it consists of andesite to trachyte. Their texture is mainly porphyry. Geochemical data {total abundance of $(\text{Na}_2\text{O}+\text{K}_2\text{O})$, enrichment of large lithophile ion elements and rare light earth elements) indicate that these rocks belong to the alkaline series. Spider diagrams show enrichment in LREE and depletion HREE, and parallel patterns in all volcanic samples confirm their common origin. According to modeling magmatic processes, fractional crystallization, assimilation and crustal contamination have played an important role in the magma forming the studied rocks. The discriminating diagrams the tectonic setting the Bashirabad volcanic rocks indicate their subduction-related volcanic arc that was formed in an active continental margin environment with local tensions.

1. Introduction

Iron oxide-copper-gold (IOCG) deposits is believed to show similarity to the porphyry Cu+Au in the collisional tectonic setting but also some important differences (Richards and Mumin, 2013). Kuh-e Dom ore deposit is a matter of debate. some studies proposed that the Kuh-e Dom magmatism are temporally associated with porphyry-type Cu+Au deposit (Sarjoughian et al., 2015). It is interestingly noted that in other study, Kuh-e Dom have been assigned into an IOCG system (Tale Fazel et al., 2015). This research has shown that the East of Kuh-e Dom magmatism is more potential for IOCG system. The

East of Kuh-e Dom prospect is located on the eastern edge of the Urumieh-Dokhtar Magmatic Arc (UDMA). This region belongs to the western segment of the Central Iran zone. The study area is located in the northern part of the 1:250000 geology sheet of the Anarak (Romanko et al., 1984) and the 1:100000 geological map of the Kuh-e Dom (Sharkovski et al, 1981). It is located in the eastern part of the Kuh-e Dom gold deposit. The geology of Kuh-e Dom area is characterized by abundant granitoids, and approximately 10 % of the region is covered by low-grade older

^{*} Corresponding author: Zahra Alaminia; E-mail: z.alaminia@sci.ui.ac.ir**Citation:**

Farangi, Sh., Alaminia, Z., Vahedi, M., and Sadeghisorkhani, H., 2023. Investigation of iron occurrence by geophysics, geochemistry, and tectonic setting of granitoids of the East of Kuh-e Dom, Central Iran. Scientific Quarterly Journal, GEOSCIENCES, 33(2), 128, 1-24. <https://doi.org/10.22071/gsj.2023.361759.2032>

E-ISSN: 2645-4963; Copyright©2023 G.S. Journal & the authors. All rights reserved.

doi: 10.22071/gsj.2023.361759.2032

doi: 10.1001.1.10237429.1402.33.2.12.1

This is an open access article under the by-nc/4.0/ License (<https://creativecommons.org/licenses/by-nc/4.0/>)

metamorphic rocks. Sarjoughian et al. (2015) reported U-Pb zircon ages of 53.9 Ma and 51.1 Ma for granitoid-related gold deposit. Granitoids have a high-K calc-alkaline to shoshonitic affinity.

The discovery of iron resources is important for government programs and mining companies because iron metal and its alloys play a key role in various industrial sectors. The East of Kuh-e Dom has a possible potential for iron mineralization. Mineralization is especially related to skarn. The magnetite ore is mainly localized along the contact metasomatic skarn between granodiorite and the limestone, with lesser amounts of hematite vein/veinlets being hosted in fracture zones of granite. One of the main challenges for us is a comparison between porphyry- or IOCG-related skarn. The study of geochemical properties of associated intrusive bodies offers potentially important information on their tectonic setting and the origin of the magmatic system.

2. Research Methodology

A total of 16 samples were collected from surface exposures of intrusions for petrographic observation. The analyses were performed on least-altered whole rock samples of quartz monzonite, granite, granite, and diorite. Whole-rock chemistry was determined at the Zarazma laboratory, by XRF for major elements. Some trace elements were analyzed using an ICP-MS. All other trace elements were analyzed by ICP-OES. Measured data are listed in Table 1.

3. Results

The Kuh-e Dom ore field in northeast Isfahan hosts gold-copper-iron-bismuth-tungsten polymetallic mineralization which has produced more than 1 Mt. of gold since 2020, with average grade of 1.05 ppm Au. East of Kuh-e Dom iron prospect, situated in the western part of the Central Iran zone and includes Lower Cretaceous limestone, Early Eocene volcanic sequences, and metamorphic basement rocks (Fig. 1B). The Kuh-e Dom intrusion is surrounded by a succession of Eocene volcanic rocks, such as andesite, basaltic andesite, rhyolite, rhyodacite, trachydacite, tuff and pyroclastic rocks. The younger parts are less common among volcanic rocks and contain trachyandesite, basalt, and basaltic andesite. The East of Kuh-e Dom intrusive bodies are a wide range of rocks from granodiorite, granite, monzonite, and quartz monzonite plus less diorite, and gabbro which points to extensive magma mixing. They generally consist of medium- to fine-grained quartz, K-feldspar, plagioclase, hornblende, biotite, and pyroxene minerals. Plagioclase shows a compositional zoning texture. The granitoid rocks in this study exhibit textures of sieve, anti-rapakivi, poikilitic, zoning, and dissolution. Felsic and mafic dikes intruded into older rock units. The dikes have the

same mineralogical composition and the same porphyry texture. Felsic dikes are characterized by a mineral assemblage of quartz, plagioclase, orthoclase, biotite, and minor hornblende in an altered glassy groundmass.

The iron mineralization occurs mainly along zones between the granodiorite intrusion and Lower Cretaceous marine carbonate rocks. We consider the age of mineralization to be Early Eocene. The mineralization has simple ore mineral assemblages including magnetite, hematite, and iron oxides with a little pyrite associated with the garnet, quartz, calcite, phlogopite, epidote, and chlorite minerals (Fig.4). The primary mineralization of magnetite occurs extensively as massive strata, veinlets, and aggregates. The hematite-quartz veins crosscut the granite intrusion.

The presence of a very strong anomaly in the magnetic data surveyed by the UAV in the center of the range proves the considerable magnetic mineralization. The dimensions of this anomaly are about 200 meters by 100 meters and it is located on the boundary of carbonate and granodiorite intrusions, which can confirm the skarn mineralization. Other magnetic anomalies observed have less intensity, which is associated with poor magnetite mineralization or volcanic rocks that lack mineralization.

Major and minor element concentrations in the East of Kuh-e Dom granitoid samples include SiO_2 (53.89-70.54 wt%), Al_2O_3 (8.38-16.67 wt%), MgO (0.36-3.18 wt%), Na_2O (0.23-3.87 wt%), K_2O (2.65-7.17 wt%), Y (11-24 ppm), Yb (11-2 ppm) and $\text{Sr/Y} < 28.38$ with an exception of 41.15. Petrogeochemically, the granitoids are of I-type. In the plots of Fe-index and MALI-index versus SiO_2 , the granites classify as magnesian and alkalic-calcic to calcic-alkalic that separated post-collisional plutons from peraluminous granites (Frost et al., 2001). In the Shand diagram, the intrusive rocks of East Kuh-e Dom belong to the metaluminous series. These granitoids have not adakitic signatures with low Sr/Y and La/Yb ratios (Defant and Drummond, 1990). The intrusions show enrichments of Th with respect to Ta, clearly indicating a subduction enrichment or crustal contamination (Rudnick and Gao, 2003). They are plotted on the Y versus Nb diagram, the granitoids mostly fall in the volcanic arc granite+ syn-collision granite field and a few in the within-plate granite. Finally, the compositions of the Kuh-e Dom and East of Kuh-e Dom lie within the similar fields in all diagrams, which shows that the sources for two suites were geochemically similar.

4. Discussion and Conclusion

The iron occurrence is connected with granitoids characterized by shoshonitic affinities, formed from slab failure magmatism during the middle stages of subduction and early stages in the collision of Arabia and Eurasian plates (Fig. 6). Kuh-e Dom granitoid age

is Early Eocene. Geochemical signatures propose a low degree of a phlogopite-spinel peridotite source in the upper mantle, at depths <70 km to generate granitoids of the East of Kuh-e Dom. Therefore, magma is likely to form at deeper levels in response to increasing crustal thickness. In addition, mineralogical and geochemical constraints (Ba/Rb versus Rb/Sr ratios and Ta/La versus Zr/Sm ratios) on the contribution of magma mixing and contamination with continental upper-crust materials during ascent (Furman and Graham, 1999).

In summary, according to the present findings and previous studies, it was proposed to follow the subduction of the Neo-Tethys oceanic crust beneath the Sanandaj-Sirjan zone, and the formation of the Jurassic magmatic arc (Holtmann et al., 2022), and the continued closure of the Nain sea in the upper Cretaceous (Shafaii-Moghadam, 2013), the Arabian plate is colliding with Eurasia, causing the crustal thickening of the

Iranian plateau in the Eocene (40 km, Ahmadian et al., 2009; Verdel et al., 2011; Okay et al., 2022). The granitoid of the East of Kuh-e Dom was formed in a relatively mature continental arc (Fig. 7A).

The chemical characteristics of the granitoid of East of Kuh-e Dom are not similar to those of iron skarns in the world. Thus, it seems that these intrusions are part of a larger magmatic-hydrothermal system that created iron oxide copper-gold mineralization in this area.

5. Acknowledgements

The research was supported by the University of Isfahan. This study was carried out for program No. 121c, 48479878, Mobarakeh Steel Company of Isfahan Province. We thank for the research funding. We are also grateful to reviews for their constructive comments.



بررسی کانه‌زایی آهن بر پایه مطالعات زمین‌فیزیکی، زمین‌شیمی و زمین‌ساختی گرانتویدهای خاوری کوه دم، ایران مرکزی

شیوا فرنگی^۱، زهرا اعلمی‌نیا^{۱*}، محمد واحدی^۲ و حمزه صادقی‌سرخنی^۳

^۱ گروه زمین‌شناسی، دانشکده علوم، دانشگاه اصفهان، اصفهان، ایران

^۲ گروه زمین‌شناسی، دانشکده علوم، دانشگاه لرستان، خرم‌آباد، ایران

^۳ دانشکده مهندسی معدن، دانشگاه صنعتی اصفهان، اصفهان، ایران

چکیده

گرانتویدهای خاور کوه دم (شمال خاوری اصفهان) واقع در بخش باختری پهنه ایران مرکزی، به درون سنگ‌های آهکی کرتاسه زیرین، آتششانی‌های ائوسن زیرین و بی‌سنگ دگرگونی تزریق شده است. وجود یک ناهنجاری بسیار قوی در داده‌های مغناطیسی برداشت شده توسط پهپاد در مرکز محدوده، وجود کانی‌سازی قابل توجه مگنتیتی را اثبات می‌کند. ابعاد این ناهنجاری در حدود ۲۰۰ متر در ۱۰۰ متر بوده و اقع شدن در موز واحدهای آهکی و نفوذی‌های گرانوودیوریتی محدوده، می‌تواند نشان‌دهنده کانی‌سازی از نوع اسکارن باشد. دیگر ناهنجاری‌های مغناطیسی دیده شده شدت کمتری دارند و در ارتباط با کانی‌سازی ضعیف مگنتیتی هستند و یا محدود به سنگ‌های آتششانی بوده که کانی‌سازی ندارند. مجموعه ساده ماده معدنی شامل مگنتیت، هماتیت، اکسیدهای آهن و به ندرت پیریت همراه با کانی‌های گارنت، کوارتز، کلسیت، فلوگوپیت، اپیدوت و کلریت است. توده نفوذی گرانتوید ائوسن زیرین طیفی وسیع از گرانت و گرانوودیوریت تا دیوریت است که بر اختلاط گسترده ماغماهی دلالت دارد. رخداد آهن با گرانتویدهایی قربات دارد که ماهیت شوشوئیتی داشته و از مگماتیسم گسیختگی صفحه فرورونده در طی مراحل میانی فروزانش و در مراحل آغازین برخورد صفحات عربی و اوراسیا ایجاد شده‌اند. شواهد زمین‌شیمیایی درجه پایینی از ذوب بخشی اسپینل پریدوتیت فلوگوپیت دار در گوشته بالایی و ژرفایی کمتر از ۷۰ کیلومتر را برای تولید گرانتویدهای خاور کوه دم پیشنهاد می‌کند.

اطلاعات مقاله

تاریخچه مقاله:

تاریخ دریافت: ۱۴۰۱/۰۶/۲۲

تاریخ پذیرش: ۱۴۰۱/۱۱/۱۹

تاریخ انتشار: ۱۴۰۲/۰۴/۰۱

کلیدواژه‌ها:

گرانتوید

شوشونیت

اسکارن آهن

حاشیه فعال قاره

انارک

۱- پیش‌نوشتار

کانسار طلای کوه دم ادامه یافت و در سال ۱۳۹۹ طلای سولفیدی با عیار حد ۱۰۵ گرم در تن مورد بهره‌برداری قرار گرفت (IMPASCO, 2011). پژوهش‌های پیشین که بر روی دگرسانی‌های منطقه طلای کوه دم انجام شده است، آن را به عنوان یک کانی‌سازی نوع اکسید آهن-مس-طلای (IOCG) معروفی کرده‌اند (طلای فاضل و همکاران, ۱۳۹۳؛ Mehrabi and Hekmatian, 2015؛ Tale Fazel et al., 2015؛ ۱۳۹۳). همچنین زمین‌شیمیایی متعددی مطالعات بر روی سنگ‌های آذرین منطقه معدنی مس-طلای کوه دم صورت پذیرفته است (ربیعی، ۱۳۸۵؛ شاهزادی و همکاران, ۱۳۸۷؛ کعنایان و همکاران, ۱۳۸۸؛ سرجوقیان و همکاران, ۱۳۹۱ و ۱۳۹۴؛ کعنایان و همکاران, ۱۳۸۷) که برونزد وسیعی در منطقه دارد، یانگر پتانسیل بالای توده‌های گرانتویدی منطقه کوه دم است. سرجوقیان و همکاران (Sarjoughian et al., 2015) پس از تعیین سن برخی از سنگ‌های درونی، به بررسی ترکیب شیمیایی کانی بیوتیت موجود در توده‌های

در جنوب باختری پهنه ایران مرکزی، در منطقه معدنی کوه دم واقع در زیر پهنه فلزی‌زایی انارک (Mehrabi و Hekmatian, 2014؛ ۱۳۹۳)، استان اصفهان، نشانه‌های متعددی از کانه‌زایی‌های چند فلزی آهن، مس، طلا، بیسوموت و تنگستن همراه با سنگ‌های گرانتویدی ائوسن دیده می‌شود (Technoexport, 1979؛ Sharkovski et al., 1981؛ Tale Fazel et al., 2014). با بررسی‌های زمین‌شناسی و برداشت‌های ژئوفیزیکی که از سوی کارشناسان شرکت تکنواکسپورت در حدفاصل سال‌های ۱۹۸۱ تا ۱۹۸۵ در این ناحیه انجام گرفت، سه منطقه امیدبخش به نام‌های KD-I (طلای) و KD-II (مس) در شمال ناحیه و KD-III (آهن) در جنوب خاور ناحیه، پیجوبی و معروفی شد (Technoexport, 1979؛ ۱۹۸۱؛ Romanko et al., 1984) (شکل ۱-B). در بررسی‌های بعدی، فعالیت‌های اکتشافی نیمه تفضیلی توسط شرکت پیجواب کاووش (۱۳۷۹) و اکتشافات عمومی طلا و عناصر همراه در کوه دم، توسط شرکت تهیه و تولید مواد معدنی ایران (۱۳۸۸) بر روی

* نویسنده مسئول: زهرا اعلمی‌نیا؛ E-mail: z.alaminia@sci.ui.ac.ir

مأخذذگاری:

فرنگی، ش.، اعلمی‌نیا، ز.، واحدی، م. و صادقی‌سرخنی، ح.، ۱۴۰۲، بررسی کانه‌زایی آهن بر پایه مطالعات زمین‌فیزیکی، زمین‌شیمی و زمین‌ساختی گرانتویدهای خاوری کوه دم، ایران مرکزی، ۳۳(۲)، ۱۲۸، ۱۲۴-۱.

<https://doi.org/10.22071/gsj.2023.361759.2032>

doi: 10.22071/gsj.2023.361759.2032

dor: 20.1001.1.10237429.1402.33.2.12.1

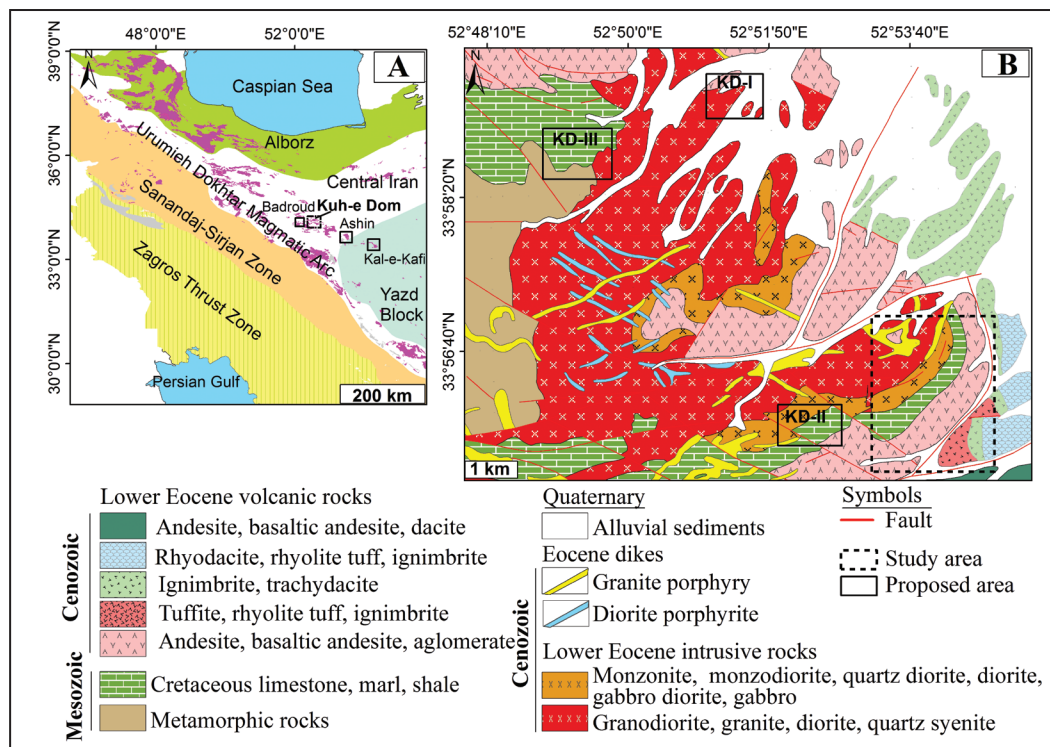
حقوق معنوی مقاله برای فصلنامه علوم زمین و نویسنده‌گان مقاله محفوظ است.



This is an open access article under the by-nc/4.0/ License (<https://creativecommons.org/licenses/by-nc/4.0/>)

می‌شوند، بدین صورت که از ذوب بخشی سنگ کره تعییر یافته از فرورانش پیشین شکل گرفته‌اند. البته چنین فرایندی برای کانسارهای IOCG و IOA (عضو نهایی قفر از مس دسته) IOCG هم پیشنهاد شده است (Groves et al., 2010). کانسارهای اکسید آهن در محیط زمین ساختی برخورد قاره‌ای تا پس از برخورد دیده می‌شوند. غنی‌شدگی آهن، عمدتاً به صورت اکسیدهای آهن (\pm سیلیکات و کربنات آهن) همراه با مقدار کمی سولفید آهن دارند. عیارهای اقتصادی از عنصر مس \pm طلا \pm اورانیم \pm بیسموت و عنصر نادر خاکی \pm کبات در کانسارهای IOCG دیده می‌شود و معمولاً با مagmaهای کلسیمی-قلایایی تا نیمه قلایایی، قفر از گوگرد و نسبتاً اکسیدی مشخص می‌شوند. در این بین، با در نظر گرفتن جایگاه زمین ساختی مشابه (برخورد و پس برخورد)، دو نوع کانسار IOCG و پورفیری، مagmaتیسم مشابه دارند در صورتی که عنصر کانه ساز در هر کدام متفاوت است و ضرورت دارد در برنامه‌های اکتشافی به این امر توجه ویژه شود. از آنجا که در منطقه کوه دم اختلاف نظر بین دو سامانه پورفیری و اکسید آهن وجود دارد تصمیم گرفته شد در خاور کوه دم که رخمنونهای آهن به روشنی قابل شناسایی است، این بررسی ژنتیکی صورت گیرد. آهن در منطقه خاور کوه دم به دو گونه کانه زایی مگنتیت همراه با گرانیتوییدها و کانه زایی هماتیت-کوارتز-سولفید همراه با دایک‌های اسیدی وجود دارد که در این منطقه، نوع اول اهمیت بیشتری دارد. از این رو در پژوهش حاضر سعی بر آن شده است پس از بررسی‌های زمین‌شناسی و زمین‌فیزیکی، کانه زایی مگنتیت خاور کوه دم با هدف اکتشاف برپایه داده‌های همین شیمیایی، جایگاه زمین ساختی و سنگ‌شناسی توده نفوذی مولد کانه سازی، معرفی و مورد مطالعه قرار گیرد.

گرانیتوییدی پرداخته و آنها را از نظر میزان کله، با توده‌های مرتبه با مس پورفیری مناطق فرورانش مقایسه کرده است. همان‌طور که گفته شد برخلاف مطالعات علمی جامعی که توسط پژوهشگران بر روی طلا و مس انجام گرفته است تاکنون توجیهی به ترکیب گرانیتوییدهای همراه با کانه زایی آهن (KD-II) نشده است. به تازگی فرنگی و همکاران (۱۴۰۰)، با استفاده از تصاویر ماهواره‌ای لندست ۸ استر و سنتیل ۲، ترکیبات مختلف آهن دار را در خاور کوه دم شناسایی و تفکیک کرده‌اند. منطقه خاوری کوه دم، در فاصله ۶۵ کیلومتری شمال خاوری شهرستان زواره و در نیمه باختری پهنه اکتشافی انارک و در حاشیه جنوب باختری دشت کویر (کویر مرکزی) در استان اصفهان جای گرفته است. مagmaتیسم خاوری کوه دم، ادامه توده‌های شوшуونیتی منطقه مس-طلای کوه دم است. شوшуونیت‌های دو کمرنده مagmaی ارومیه-دختر و البرز جوان تر هستند و در اثر برخورد صفحه عربی با ایران و افزایش ستبرای پوسته (از ۳۵-۴۰ کیلومتر در اوسن بالای-الیگومن تا ۵۵-۶۰ کیلومتر در Castro et al., 2013; Nouri et al., 2020; Sepidbar et al., 2021) در حالی که شوшуونیت‌های پهنه انارک کهنه تر هستند (شکل A-1؛ Torabi, 2009; Torabi, 2011; Goli et al., 2021) شوшуونیت‌ها نقش مهمی در تأمین عنصر کانه ساز (مس، طلا، اورانیم و آهن) برای سامانه‌های پورفیری، اکسید آهن طلا-مس (IOA) و اسکارن‌های همراه دارند و در حقیقت یک وابستگی زایشی بین توده درونی و کانسار وجود دارد. بیشتر کانسارهای پورفیری از magmaهای وابسته به کمان با ماهیت کلسیمی-قلایایی تا نیمه قلایایی غنی از گوگرد و به نسبت اکسیدی مشتق می‌شوند، با این وجود، برخی دیگر از نظر زمانی و مکانی در جایگاه کمان‌های فعل پس از فرورانش (برخوردی) هم دیده



شکل ۱- (A) موقعیت کوه دم در پهنه ایران مرکزی بر روی نقشه ساختاری ایران نشان داده شده است؛ (B) نقشه زمین‌شناسی ساده شده از منطقه معدنی طلای کوه دم (KD-II) و دیگر نشانه‌های معدنی (برگرفته از نقشه زمین‌شناسی ۱:۱۰۰۰۰۰ (Sharkovski et al., 1981)).

Figure 1. A) The situation of Kuh-e Dom area is shown in the Central Iran zone over the tectonic map of Iran; B) Simplified geological map of the Kuh-e Dom gold mining area (KD-II), and other mineral occurrences (After the 1:100000 geological map of Kuh-e Dom (Sharkovski et al., 1981)).

۲- زمین شناسی ناحیه‌ای گستره معدنی کوه دم

۰/۵ گرم از پودر در تیزاب سلطانی داغ (۹۵ درجه سانتی گراد) و برای تعیین عناصر فرعی و کمیاب، ۰/۲ گرم پودر در لیتیم متاورات و سپس اسیدنیتریک حل گردید. حد تشخیص برای اکسیدهای اصلی ۰/۰۵ درصد و برای عناصر فرعی و کمیاب بین ۰/۰۵ تا ۱ گرم در تن است.

به منظور بررسی وجود کانه سازی آهن از نوع مگنتیتی و همچنین گسترش جانبی و ژرفایی آن در محدوده خاور کوه دم، برداشت داده‌های مغناطیس‌سنجدی بهادر با ارتفاع پرواز ۴۰ متر از سطح زمین توسط شرکت کاواک برای شرکت فولاد مبارکه بر روی پروفیل‌های ۲۵ متری در تابستان سال ۱۴۰۰ انجام گرفت و تصویحات مربوط به پرواز بر روی آنها اعمال شد. سپس داده‌های تصویح شده، به کمک نرم افزار Oasis montaj توسط نگارندگان مورد پردازش و تفسیر قرار گرفت.

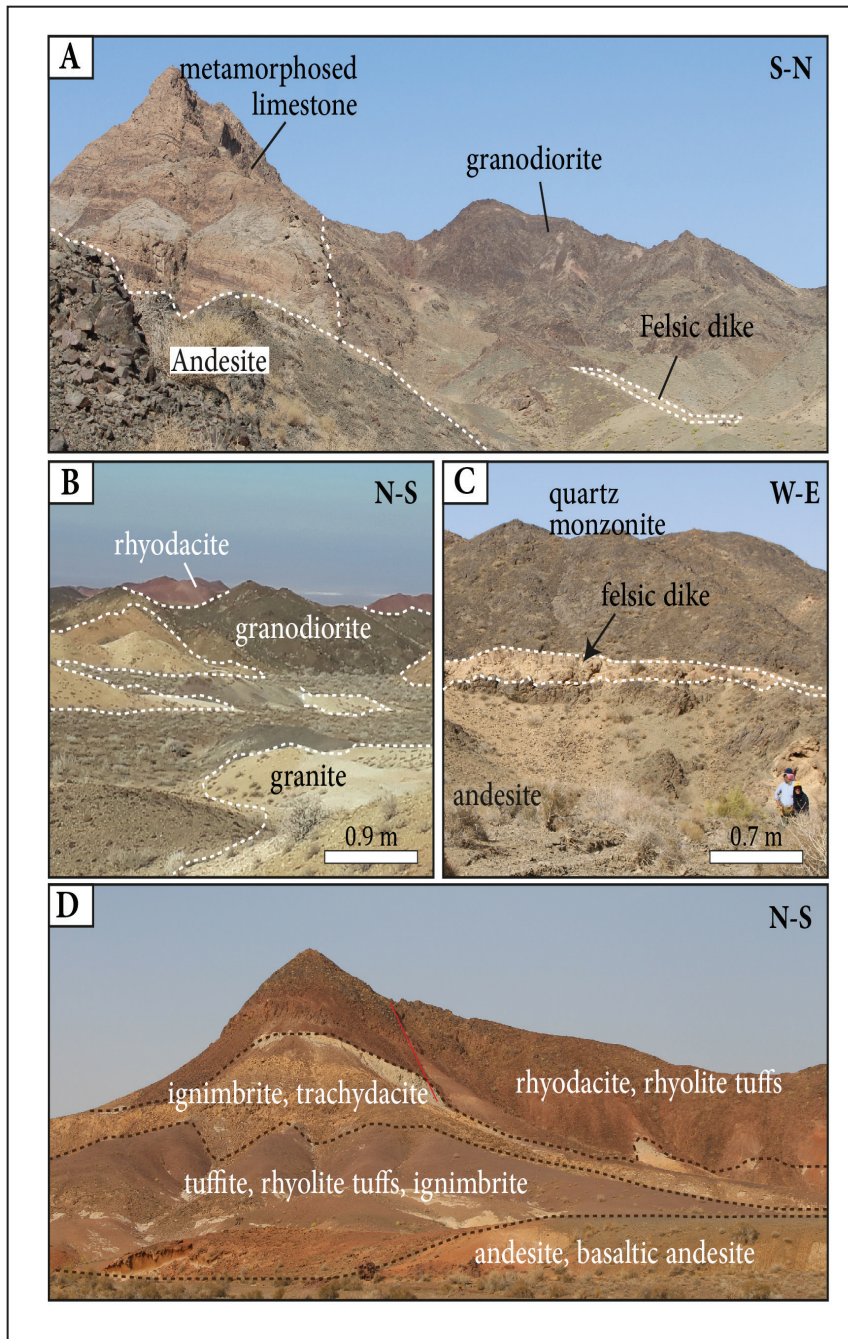
۳- سنگ‌نگاری و روابط صحرایی

کهن ترین واحد چینه‌شنختی در منطقه خاوری کوه دم، واحد آهکی است که به طور ناپیوسته با امتداد شمال خاور- جنوب باخترا را زنگ کرم تا قهوه‌ای و لایه‌بندی ستر تماس متوسط دیده می‌شود و مرزهای آن به صورت گسله و راندگی است (شکل ۲-A). به استناد بقایای فسیل‌های اوریتولینا رودیست و اکینودرم، سن این واحد صخره ساز کرتاسه پیشین است (Sharkovski et al., 1981). جنوب این واحد، سنگ‌های آتشفشنایی در شمال آن توده‌های نفوذی رخمنون دارند. گستره ترین واحدی سنگی در محدوده مطالعاتی، مربوط به سنگ‌های آتشفشنایی است که به طور پراکنده توسط سنگ‌های نفوذی و دایک‌ها قطع شده‌اند. مشاهدات صحرایی نشانگر سن کهن تر این مجموعه نسبت به توده‌های نفوذی منطقه است (شکل ۲-B و C). سنگ‌های آتشفشنایی از جنس حدوداً بیشتر در جنوب و سنگ‌های اسیدی با زنگ قرمز ارغوانی در خاور منطقه گسترش دارند (شکل ۲-D) و از قدیم به جدید از جنس آندزیت، آندزیت بازالت، ریولیت، توف، ایگنبریت، تراکی داسیت، ریوداسیت، و در بعضی‌های جوان تر از نوع تراکی آندزیت، بازالت و گاهی آندزیت بازالت هستند. بافت اصلی گذازه‌های آندزیتی شبه موzaیکی تا اینترسراکت است که در اثر صعود مagma، کانی‌های هم چگال در کنار یکدیگر قرار گرفته‌اند. درشت بلورهای پلازیوکلاز، اوژیت و هورنبلندهای کرم تا قهوه‌ای در یک زمینه شیشه‌ای، دانه‌ریز و میکرولیتی تشکیل شده است که بیشتر متحمل دگرسانی پروپیلیتیک تا سریستیک شده‌اند (شکل ۳-A). به طور میانگین پیروکسن‌ها در اشکال هشت ضلعی و مستطیلی دارای اندازه متوسط ۱ میلی‌متر و پلازیوکلازها با اندازه متوسط ۱/۴ میلی‌متر دارای ماکل پلی‌ستنتیک واضح می‌باشند. روانه‌های ریولیتی با ساخت موzaیکی به زنگ ارغوانی تا قرمز تیره با راستای شمالی- جنوبی در خاور محدوده برونزد یافته‌اند (شکل ۲-D). کوارتز، فلدسپار، سانیدین و بیوتیت سازنده‌های اصلی سنگ هستند که با کانی‌های فرعی آپاتیت، زیرکن و کانی‌های تیره همراه می‌شوند (شکل ۳-B). سنگ‌های آذآواری از درشت بلورهای شکسته شده پلازیوکلاز، کوارتز، آمفیبول سوخته، بیوتیت و قطعات سنگی همراه با اکسیدهای آهن تشکیل شده‌اند. سنگ‌های آندزیت، آندزیت بازالت و بازالت که جوان تر از توف و سنگ‌های آذآواری جریانی (ایگنبریت) است در مجاورت توده‌های گرانیتوبیدی قرار دارد و دارای بافت‌های اینترسراکت و ساب افتیک است و از بلورهای پلازیوکلاز، الیوین و کلینوپیروکسن و کمتر بیوتیت، هورنبلند بازالتی، آپاتیت، زیرکن و کانی‌های کدر (هماتیت، مگنتیت و پیریت) تشکیل شده است، افزون بر آن اشکال دروغین الیوین نیز در آن دیده می‌شود. ضمن اینکه کوارتز میان رخ‌های فلدسپارها و یا فضاهای خالی سنگ را پر کرده و یا به صورت لخته‌های سیلیسی در زمینه سنگ رخ داده است.

بر مبنای تقسیم‌بندی پهنه‌های ساختاری ایران (آقانباتی، ۱۳۸۳) منطقه مطالعاتی در منتهی‌الیه مرز جنوب باختری ایران مرکزی جای دارد. این منطقه در بخش شمالی ورقه ۱۰۰۰۰۰۱:۱ اثارک (Romanko et al., 1984) و بخش شمالی برگه زمین شناسی (Sharkovski et al., 1981) کوه دم (Sharkovski et al., 1981) قرار دارد. کهن ترین سنگ‌های ناحیه معدنی کوه دم متعلق به دگرگونه‌های فیلیت، شیست سبز و آهک‌های متاور مزوزویک (۳۲۰ تا ۳۳۳ میلیون سال) است که توسط سنگ‌های آهکی اوریتولین دار کرتاسه پیشین به طور ناپیوسته پوشیده شده است (Bagheri and Stampfli, 2008). طبق شواهد سن‌سنجدی رادیومتری، چینه‌شناسی و روابط مقاطع افق‌های آذین، سنگ‌های آتشفشنایی و آتشفشنایی- تخریبی اثوسن زیرین توسط مجموعه‌ای وسیع از سنگ‌های نفوذی و دایک‌ها قطع شده است و در مجاورت با سنگ‌های میزان، دگرگونی مجاورتی رخ داده و به هورنفلس و اسکارن تبدیل شده‌اند (Sharkovski et al., 1981). بر پایه سن‌سنجدی U-Pb روی کانی زیرکن، سن گرانیتوبیدهای حدواتسط- بازیک ۵۳/۹ میلیون سال و سن گرانیتوبیدهای فلزیک ۵۱/۱ میلیون سال بدست آمده است (سرجویان و همکاران، ۱۳۹۴). در نقشه کوه دم، گرانیتوبیدهای به دو مجموعه تفکیک شده است، بخش فلزیک که از مونزروگرانیت، گرانوئدیوریت، کوارتزمونزودیوریت صورتی تا کرم زنگ را در بر می‌گیرد و نشانه‌های مس و طلا در میان آنها دیده می‌شود. بخش حدواتسط- بازیک که ترکیب مونزونیت، مونزودیوریت، کوارتزدیوریت و کمتر گابرو دارند و به صورت باندهای ناپیوسته در حاشیه شمالی، خاوری و جنوب گرانیتوبید کوه دم با زنگ تیره در صحراء دیده می‌شود (شکل ۱-B). کانی زایی آهن در مرز آنها با توالی آهکی کرتاسه، سنگ‌های آتشفشنایی و توده‌های گرانیتوبیدی اثوسن رخ داده است. از آنجا که زینولیت‌هایی از سنگ‌های بازیک تر در سنگ‌های اسیدی رخمنون دارد، سنگ‌های بازیک کهن تر از اسیدی‌ها بوده و در حاشیه آنها اپیدوتی و کلریتی شدن دیده می‌شود (سرجویان و همکاران، ۱۳۹۱). یکی از ویژگی‌های بازالت ناحیه، فراوانی بالای دایک‌های اسیدی و بازیک است. مهرابی و همکاران (۱۳۹۲) دایک‌ها را عاملی مؤثر در تحرک سیالات گرمابی و رخداد فلزات پایه منطقه دانسته‌اند. دایک‌های اسیدی با سن ۴۹/۹ میلیون سال، سترای ۰/۵ تا ۲۰ متر ترکیب کوارتز پورفیری، میکروگرانیت پورفیری، میکروگرانوئدیوریت پورفیری و آپلتی دارند (سرجویان و همکاران، ۱۳۹۴).

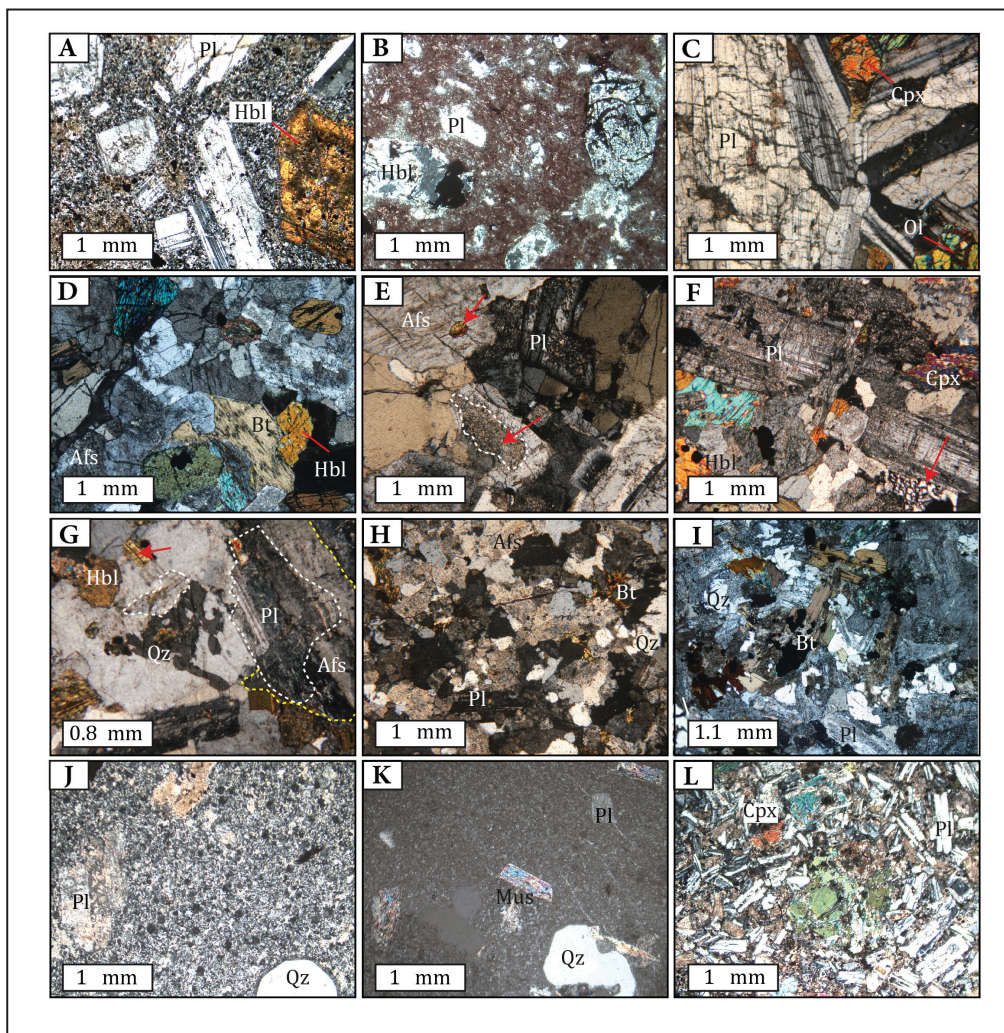
۴- روش مطالعه

در این پژوهش در مجموع ۹۹ نمونه از سنگ‌های آتشفشنایی، توده‌های درونی، دایک‌ها و کانسنگ برداشت و به منظور بررسی‌های میکروسکوپی مشتمل بر سنگ‌نگاری، کانزنگاری، ساخت و بافت، تعداد ۳۲ مقطع نازک و ۱۵ نازک تهیه و مطالعه شد. پس از انجام سنگ‌نگاری، به منظور مطالعات زمین‌شیمیایی، نمونه‌هایی از توده‌های گرانیتوبیدی (کوارتزمونزونیت، گرانیت، گرانوئدیوریت و دیوریت) با کمترین شدت دگرسانی به شمار ۱۶ نمونه انتخاب، به اندازه ۴/۸ میلی‌متر (بعاد ۴/۸ میلی‌متر) خرد و با استفاده از هاون آگات تا اندازه ۲۰۰ میکرون (بعاد ۷۴ میکرون) پودر شد. پس از آماده‌سازی، یک گرم از پودر LOI در دمای ۱۱۰ درجه سانتی گراد در کوره قرار گرفت. پنج گرم از پودر به منظور اندازه گیری اکسیدهای اصلی به روش فلورسانس اشعه ایکس با دستگاه XRF مدل PW1480 ساخت شرکت فلیپس در آزمایشگاه کاساران بینالود و ده گرم جهت تجزیه عناصر فرعی و کمیاب به ترتیب به روش‌های طیف‌سنج نشری و طیف‌سنجی جرمی با دستگاه‌های ICP-MS و ICP-OES مدل Varian 2000 آزمایشگاهی زرآزمایی تهران ارسال شد (جدول ۱). برای تعیین مقدار فلزات پایه



شکل ۲- تصاویر صحرایی از خاور کوه دم. (A) آهک دگرگون شده با توده نفوذی از شمال و سنگ آتشفسانی از سمت خاور و جنوب محصور شده است؛ (B) ماسه‌گرانیتی پس از گرانویدوریت تزریق شده است؛ (C) قطع شدگی توده گرانیتویید توسط دایک‌های اسیدی؛ (D) توالی واحدهای آندزیت، آندزیت بازالت، ایگنیمیریت، ریولیت‌های ارغوانی، تراکی داسیت، و توف‌های ریولیتی و ریوداسیتی در خاور منطقه.

Figure 2. Field photos from East of Kuh-e Dom. A) Metamorphosed limestone is bounded to the north, and east and south by the granitoid and volcanic, respectively; B) Granitic magma was injected after granodiorite rock; C) Acidic dikes crosscut the granitoid body; D) Sequences of andesite, basaltic andesite, ignimbrite, purple rhyolites, trachydacite, and rhyolite tuffs and rhyodacite in the east of the study area.



شکل ۳ - تصاویر میکروسکوپی (نور عبوری با صفحات متقاطع، XPL) از سنگهای منطقه خاوری کوه دم. (A) درشت بلورهای پلاژیوکلاز و آمفیبیول در زمینه ای با بافت میکرولیت در آندزیت؛ (B) توف مشکل از درشت بلورهای گردشده آمفیبیول، پلاژیوکلاز و پیروکسن؛ (C) کانی های پیروکسن، الیوین و پلاژیوکلاز در گابرو-دیوریت؛ (D) مونزونیت با ترکیب کانی شناسی پلاژیوکلاز، آمفیبیول، بیوتیت و کمتر پیروکسن؛ (E) بافت غربالی پلاژیوکلاز و ادخال آمفیبیول در آلکالی فلدسپار کوارتز مونزونیت؛ (F) کوارتز و فلدسپار با بافت گرانوفیری در کوارتز دیوریت؛ (G) کوارتز مونزونیت بافت های مونزونیتی، پویی کیلیتیکی و آنتی راپاکیوی (حاشیه آلکالی فلدسپار) نشان می دهد؛ (H) بافت دانه ریز تا متوسط تا پورفیری با درشت بلورهای فلدسپار در گرانیت؛ (I) گرانوفیریت مشتمل بر پلاژیوکلاز، کوارتز، هورنبلنده، بیوتیت و کانی های کدر؛ (J) حضور درشت بلورهای کوارتز و فلدسپار در گرانیت پورفیری؛ (K) درشت بلورهای اندکی از کوارتز، میکا و فلدسپار در زمینه شیشه ای از کوارتز پورفیری جای دارد؛ (L) درشت بلور خود شکل کسن در دایک گابروبی، علام اخصاری کانی ها از ویتنی و اوواتر (Whitney and Evans, 2010) آلکالی فلدسپار، Bt-بیوتیت، Cpx-کلینوپیروکسن، Hbl-هورنبلنده، Mus-مuscovite، Ol-الیوین، Pl-پلاژیوکلاز و Qz-کوارتز.

Figure 3. Microphotographs of the rocks from the East Kuh-e Dom area (in the transmitted light, XPL). A) Plagioclase and amphibole phenocrysts with matrix of microlithic texture in andesite; B) Tuff containing mainly rounded phenocrysts of amphibole, plagioclase, and pyroxene; C) Pyroxene, olivine and plagioclase minerals in gabbro-diorite; D) Plagioclase, amphibole, biotite and less pyroxene in a monzonite; E) Sieve texture of plagioclase and amphibole inclusion in alkali feldspar of quartz-monzonite; F) Granophytic texture formed by quartz and feldspar in the quartz-diorite; G) The quartz-monzonite shows monzonitic, poikilitic, and anti-rapakivi (alkali feldspar rim) textures; H) Fine to medium grained granular to porphyritic texture with feldspar megacrysts in granite; I) Granodiorite containing plagioclase, quartz, hornblende, biotite, and opaque grains; J) The presence of quartz and feldspar phenocrysts in granite porphyry; K) A few phenocrysts of quartz, mica, and feldspar embedded in the glassy groundmass of the quartz porphyry; L) Euhedral pyroxene phenocryst in a gabbroic dike. Abbreviation minerals after Whitney and Evans (2010). Afs-alkali feldspar, Bt-biotite, Cpx-clinopyroxene, Hbl-hornblende, Mus-muscovite, Ol-olivine, Pl-plagioclase, Qz-quartz.

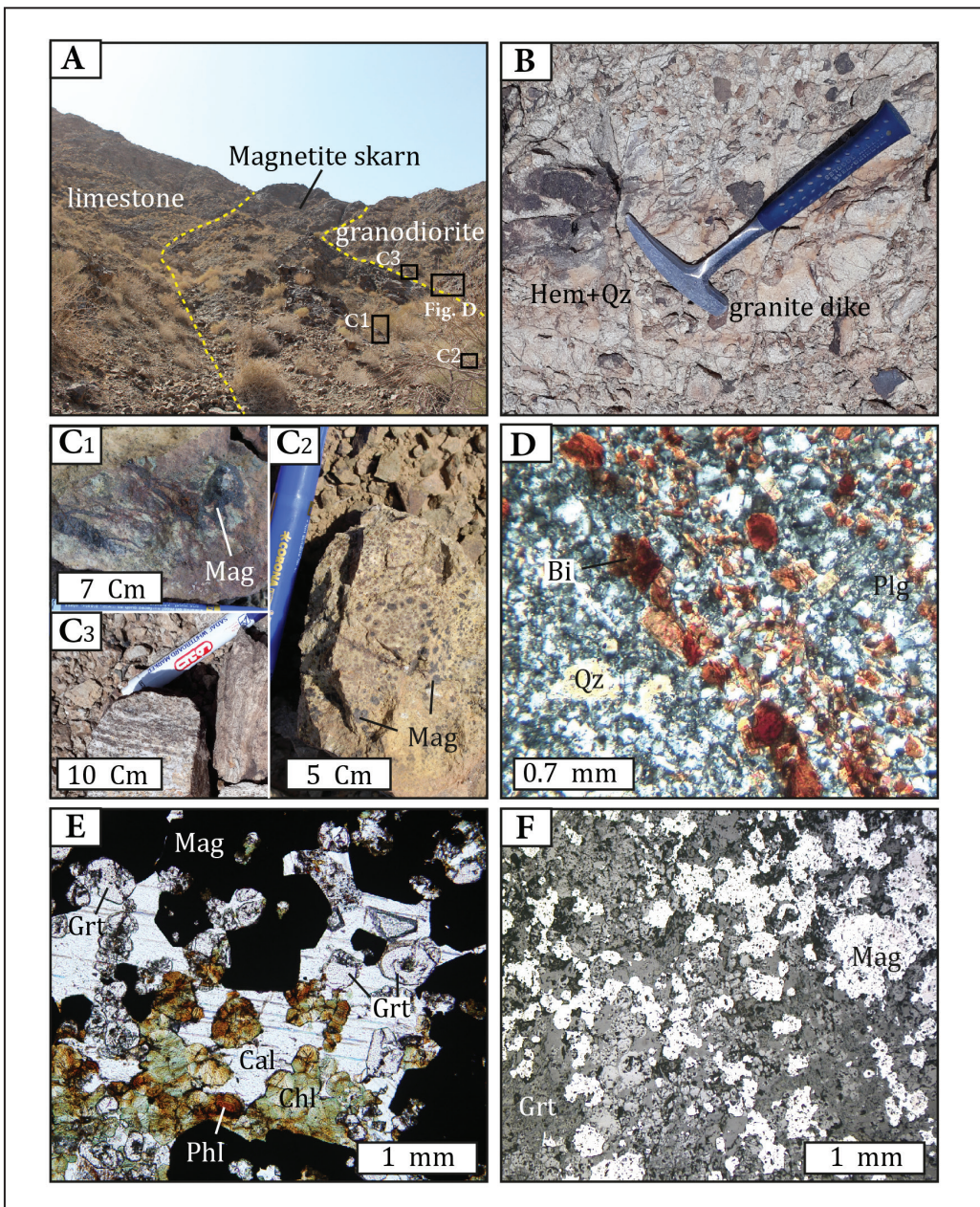
کرد (شکل ۴-B). تعداد محدودی دایک با استبراهای متغیر، رنگ سبز تیره متمایل به سیاه، بافت ریزدانه و از جنس دیوریت و سینودیوریت هستند که در جهات مختلف در سنگ‌های قدیمی تر منطقه نفوذ کرده‌اند و از همه جوان‌تر هستند. بافت آنها از نوع پورفیری و اینترگرانولار بوده و عمده‌تا از درشت بلورهای پیروکسن و پلاژیوکلاز در زمینه‌ای از میکرولیت‌ها یا ریزبلورهای پیروکسن، پلاژیوکلاز، آمفیبول، بیوتیت و اورتوکلاز تشکیل شده‌اند (شکل ۳-L).

۵- کانه‌زایی آهن

بر اساس بررسی‌های صحرایی، کانه‌زایی اولیه آهن در منطقه خاور کوه دم به دو شکل مگنتیت و هماتیت قابل تفکیک است. کانه‌زایی آهن مگنتیت در نتیجه همبrij بهخش خاوری مجموعه گرانیتوییدی کوه دم با واحدهای کربناته، هاله متاسوماتیکی استبر (شکل ۴-A) و در برخی نواحی به صورت پراکنده و نابرجا مشاهده شد، در حالی که کانه‌زایی هماتیت بیشتر در مرکز و شمال منطقه و به صورت رگه-رگچه‌های متعدد هماتیت و کوارتز- هماتیت+ سولفید در دایک‌های اسیدی و سنگ‌های آتششکانی دیده شده است (شکل ۴-B). هاله متاسوماتیکی مهم ترین کلید اکشافی برای ردیابی آهن در منطقه مورد مطالعه است. عمده ترین کانه آهن دار، مگنتیت است که به صورت لایه‌های متراکم و نایپوسته در آهک‌های کرتاسه همجوار با گرانودیوریت اتونسن رخ داده است، همچنین به صورت رگه‌ارگچه، دانه‌ای (گلوله برفی) و جانشینی در میان گرانیتویید حضور دارد (شکل ۴-C). ستبرای کانه‌زایی مگنتیت متغیر است و از نیم متر تا ۲۰ متر و طول آن گاهی به ۷۰ متر می‌رسد (شکل ۴-A). سنگ‌های هاله اسکارنی رنگ کرم تا قهوه‌ای داشته و بخش درون اسکارن با گسترش محدود و برون اسکارن به صورت چیره گسترش یافته است. بیوتیت‌های ثانویه‌ی شکل، کوارتز، فلدسپار و اپیدوت مربوط به پهنه درون اسکارن (شکل ۴-D) و به طور پراکنده و محدود، کانی‌های بدون آب گارننت و پیروکسن و کانی‌های آبدار کلریت، فلوگوپیت و اپیدوت از اجزای سازنده پهنه برون اسکارن است (شکل ۴-E). منطقه‌بندي منظمی در اسکارن آهن دیده نمی‌شود. از نظر میکروسکوپی این سنگ‌ها دارای بافت‌های گرانوبلاستیک و پورفیروبلاستیک می‌باشند. بلورهای مگنتیت هماره با گارننت‌های خودشکل دیده می‌شود (شکل ۴-F). گارننت‌های منطقه در اندازه ریز تا درشت بلور (۱۰ تا ۵ میلی‌متر) و به دو صورت شکل دار و نیمه‌شکل دار، همسانگرد و دارای بافت توده‌ای که فضای بین دانه‌ها با کانی‌های کوارتز و کلسیت پر شده است و گارننت‌های ناهمسانگرد دارای منطقه‌بندي که معمولاً درشت و خودشکل هستند در همراهی با پیروکسن و عمده‌تا تجزیه شده به کلریت مشاهده می‌شوند (شکل ۴-E). در مرحله دگرسانی پسروندۀ براثر ورود سیال‌های دما پایین کانی‌های کلریت، کلسیت و کوارتز تشکیل شده‌اند. افزون بر این مگنتیت به صورت بافت‌های جانشینی و پرکنده فضای خالی در بین بلورهای گارننت دیده می‌شود که نشانگر تشکیل آن پس از گارننت‌ها می‌باشد. هماتیت نیز در اثر مارتیت شدن مگنتیت تشکیل شده و به ندرت پیریت دانه‌ریز دیده شده است. همچنین در بخش‌های ژرف و پست ناحیه مطالعاتی، مگنتیت به صورت واریزه‌های گردشده با اندازه‌های گوناگون (۵ میلی‌متر تا بیش از ۳۰ سانتی‌متر) هماره با گارننت، اپیدوت و قطعات گرانیتوییدی دیده می‌شود.

توده‌های گرانیتوییدی منطقه درون واحدهای کهن تر تزریق شده و موجب تشکیل هاله همبrij با جنس مرمر در سنگ‌های آهکی شده‌اند. آنها در نمونه دستی اغلب به علت رخداد دگرسانی به رنگ کرم، خاکستری روشن متمایل به سبز دیده می‌شوند و با آثاری از کلریت شدن همراه هستند. این سنگ‌ها طیفی از گرانیت، گرانودیوریت، کوارتزمونزونیت، مونزونیت، مونزودیوریت، دیوریت و کمتر گابروودیوریت می‌باشند. رخنمون‌های بازیک تر بیشتر در حاشیه خاوری تا جنوبی توده گرانیتوییدی و بخش‌های ژرف و دشت‌ها دیده می‌شود. در بررسی‌های میکروسکوپی، گابروودیوریت از لحاظ کانی‌شناسی مشکل از پلاژیوکلاز، پیروکسن، هورنبلند و کمتر الیوین می‌باشد (شکل ۳-C). هورنبلند مهم ترین جز سازنده مجموعه سنگ‌های کوارتزمونزونیت، مونزونیت، مونزودیوریت و کوارتزدیوریت است که همراه با کانی‌های پلاژیوکلاز، فلدسپار قلایی، بیوتیت و به مقدار کمتر کوارتز و پیروکسن بافت می‌شود (شکل ۳-F، E و G). سنگ‌های گرانیت و گرانودیوریت دارای کانی‌های اورتوکلاز، پلاژیوکلاز، کوارتز، بیوتیت و کمتر هورنبلند هستند. در بررسی‌های سنگنگاری، آنها دارای بافت‌های گرانولار، میکروگرانولار، پویی کیلیتیک، آتنی راپاکیوی، غربالی و کمتر پورفیروپید و میرمیکتی بوده و از بلورهای پلاژیوکلاز خودشکل تا نیمه خودشکل، کوارتز، آلکالی فلدسپار (اورتوز)، آمفیبول، آمفیبول، بیوتیت و گاهی کلینوپیروکسن تشکیل شده‌اند (شکل ۳-H و I). پلاژیوکلازها با ماکل پلی‌ستیتیک و به ندرت دارای منطقه‌بندي نوسانی و با ابعاد بیشینه ۱/۵ میلی‌متر از سازنده‌گان اصلی سنگ (۶۰ تا ۷۵ درصد حجمی سنگ) به شمار می‌روند و به اپیدوت و سریسیت تجزیه شده‌اند. هورنبلند با بافت پویی کیلیتیک به صورت دانه‌های شکل دار و نیمه‌شکل دار و حدود ۱۰ تا ۲۰ درصد حجم سنگ را تشکیل می‌دهد. آنها ترکیب کلسیک و از نوع هورنبلندهای منیزیم دار هستند (سرجوقیان و همکاران، ۱۳۹۱). هورنبلندها به میزان متفاوتی دگرسانی نشان می‌دهند که بیشتر به کلریت، اپیدوت، اکتینولیت، کلسیت و اکسید آهن تجزیه شده‌اند. هرچند گاهی به نظر می‌رسد محصول دگرسانی کلینوپیروکسن باشند. کوارتز به صورت بلورهای بی‌شکل در بین کانی‌ها حضور دارد و بیوتیت‌ها اندکی کلریتی شدن نشان می‌دهند. کلینوپیروکسن، زیرکن، تیتانیت، آپاتیت و مگنتیت از کانی‌های فرعی گرانیتوییدها محسوب می‌شوند. حضور مگنتیت ماقمایی در همه فازهای گرانیتوییدی بیانگر فشار بالای اسکیزن در مذاب اولیه آنها است.

دایک‌های فلسیک از جنس گرانیت با رنگ صورتی تا کرم در سنگ‌های آتششکانی و گرانیتوییدی تزریق شده‌اند و بروزدهای نایپوسته آنها به وفور در حاشیه داخلی گرانیتویید کمانی شکل دیده می‌شود (شکل ۲-C) و دارای بافت پورفیری با زمینه میکروگرانولار و گلومرپورفیری و مشکل از درشت بلورهای کوارتز، اورتوکلاز، پلاژیوکلاز، میکا و به ندرت هورنبلند هستند (شکل ۳-J و K). بر پایه مطالعات میکروسکوپی این کانی‌ها در زمینه‌ای از کوارتزهای گردشده و گاهی با حاشیه خلیجی به همراه فلدسپارها با ماکل کارلسپاد و کمتر پلی‌ستیتیک، کائولینیتی و بیوتیت‌های سریسیتی قرار دارند. کانی‌های کدر به صورت پراکنده، ریز و درشت حضور دارند. دایک‌های فلسیک از جنس کوارتزپورفیری با رنگ سفید، در جهات مختلف در مجاورت واحد آهکی، در توده نفوذی کوه دم تزریق شده‌اند که در سطح آن می‌توان آثار رگچه‌های کوارتز، هماتیت و گوئیت را مشاهده



شکل ۴- کانی سازی آهن در منطقه خاور کوه دم، (A) حضور باند کانی زایی در طول لایه های آهک، سازند کر تاسه میزبان ماده معدنی است؛ (B) رگه ارگچه همایت+کوارتز در دایک های اسیدی؛ (C) نمودهای مختلف کانی سازی مگنتیت در سنگ های اسکارنی شکل می گیرد؛ (C1) جانشینی مگنتیت و کلسیت در آهک؛ (C2) دانه های گلوله بر قبی مگنتیت جانشین گارنٹ شده است؛ (C3) نواحی مگنتیت در گرانودیوریت، رخداد کانی سازی مشتمل بر دونوع اسکارن آهک؛ (D) اگرواسکارن؛ (E) اگرواسکارن، توجه شود که اندکی گارنٹ به صورت ادخال در مگنتیت رخ داده است. گارنٹ و فلوگوپیت با کانی کلریت جانشین شده اند؛ (F) بخشی از پورفیروبلاست گارنٹ در تماس مستقیم دانه با مگنتیت است. علام اخشاری کانی ها از وینی و اوائز (Whitney and Evans, 2010).

Figure 4. Iron mineralization in the East of Kuh-e Dom area. A) the presence of banded ore along the limestone layers. Ore is hosted by the Cretaceous Formation; B) Hematite+quartz veins and veinlets in the acidic dikes; C) Different types of magnetite mineralization form in skarn rocks; C1) replacement of magnetite and calcite in the limestones; C2) Garnet is replaced by snowballs of magnetite; C3) thinly layers of magnetite in the granodiorite. Ore occurrence includes two types of skarn; D) Endo-skarn; E) Exo-skarn, note that a little garnet occurs as inclusion in magnetite. Garnet and phlogopite were replaced by chlorite minerals; F) Part of garnet porphyroblast is in direct grain contact with magnetite. Abbreviation minerals after Whitney and Evans (2010). Bi-biotite, Cal-calcite, Chl-chlorite, Ep-epidote, Grt-garnet, Hem-hematite, Mag-magnetite, Phl-phlogopite, Pl-plagioclase, Qz-quartz.

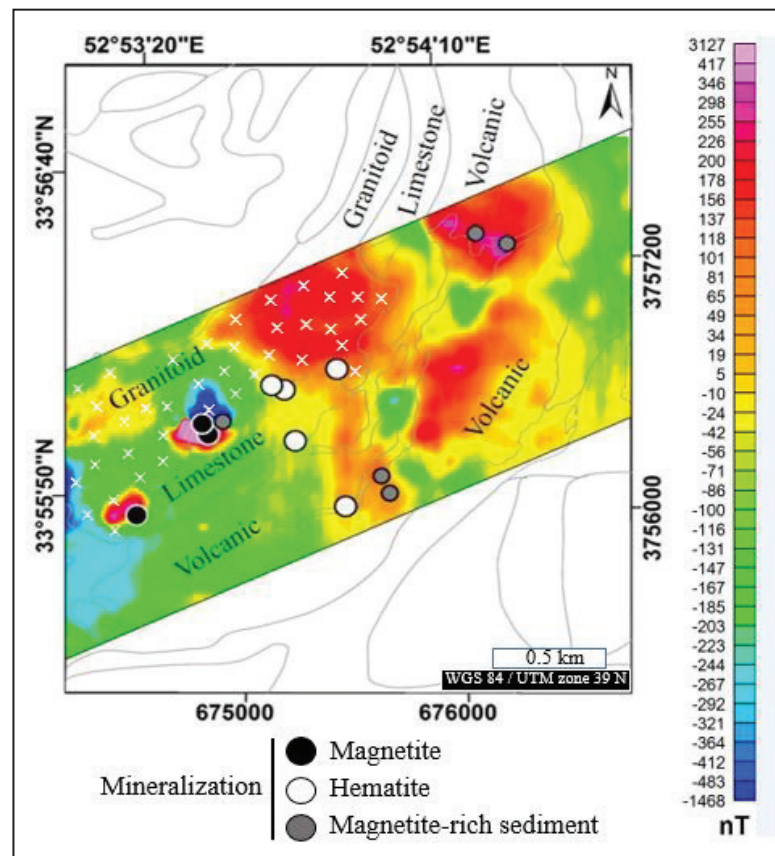
۶- گسترش کانه‌زایی آهن در بورسی‌های مغناطیسی

وقوع این ناهنجاری مغناطیسی همراه با شواهد زمین‌شناسی و کانی‌شناسی، وجود کانه‌زایی آهن مگنتیتی را تایید می‌کند. این ناهنجاری تقریباً به صورت قائم و با تمایلی به سمت جنوب با ختری بوده و گسترش افقی آن در حدود ۲۰۰ متر در ۱۰۰ متر است که نیاز است از نظر اقتصادی مورد بررسی دقیق‌تر قرار گیرد. باید توجه داشت که داده‌های مغناطیسی در این پژوهش توسط پهپاد و در ارتفاع ۴۰ متری از سطح زمین برداشت شده است. برداشت داده‌ها در ارتفاع بالاتر از سطح زمین باعث کاهش قابل توجه شدت میدان مغناطیسی ناشی از توده‌های زیرسطحی می‌گردد. پس باید توجه داشت اگر این داده‌ها توسط یک برداشت زمینی اندازه‌گیری شوند دارای شدت میدان مغناطیسی به مراتب بالاتر از ۳۰۰۰ نانوتسلا خواهند بود که این امر اهمیت این ناهنجاری را نشان می‌دهد.

دو مین ناهنجاری مغناطیسی با شدت نسبتاً کم در حدود ۳۰۰ نانوتسلا در بخش باختری محدوده دیده می‌شود (شکل ۵). گسترش خطی و شدت کم و بسامد مکانی بالای این ناهنجاری نشانگر وجود کانی‌سازی ضعیف مگنتیتی در مرز آهک‌های منطقه با سنگ‌های گرانودیوریتی و در ژرفای کمتر نسبت به ناهنجاری پیشین می‌باشد. این نتیجه‌گیری بر این مبنای استوار است که بسامد مکانی (Spatial frequency) بالا (یعنی تغییرات شدت میدان در یک محدوده کوچک) بیانگر وجود توده‌های سطحی است و به عکس، بسامد مکانی پایین (تغییرات شدت میدان در یک محدوده بزرگ) بیانگر حضور یک توده ژرف است.

در قدم نخست پس از انجام تصحیحات اولیه، مقدار میدان مرجع ژئومغناطیس بین المللی (IGRF) در منطقه از داده‌ها کم شده است. پس از آن، با حذف میدان مغناطیسی زمین از داده‌ها می‌توان به تغییرات شدت میدان مغناطیسی ناشی از توده‌های با ناهنجاری‌های محلی دست یافت. سپس جهت تفسیر دقیق محل منابع ناهنجاری‌ها، استفاده از پردازش انتقال به قطب (RTP) ضرورت دارد. به علت عدم قائم بودن میدان مغناطیسی زمین در مکان‌هایی غیر از قطب‌های مغناطیسی، ناهنجاری‌های مغناطیسی متقارن نبوده و به صورت دوقطبی ظاهر می‌گردد. با پردازش انتقال به قطب، ناهنجاری‌های مغناطیسی دقیقاً در بالای منابع مغناطیسی زیرسطحی قرار می‌گیرند (Dentith and Mudge, 2014). شکل ۵، نقشه شدت میدان مغناطیسی را پس از انجام تصحیحات اولیه، حذف میدان زمین و انتقال به قطب نشان می‌دهد. این نقشه نشانگر شدت، محل قرارگیری و گسترش توده‌های زیرسطحی موجود در منطقه است.

شدیدترین ناهنجاری موجود در منطقه با شدتی بالاتر از ۵۰۰ تا حدود ۳۱۰۰ نانوتسلا در مرکز و تا حدودی در باختر محدوده واقع شده است. این ناهنجاری منطبق با مرز شمالی سنگ‌های آهکی با توده گرانودیوریتی می‌باشد. نسبت به دیگر ناهنجاری‌ها، شدت بالا و بسامد مکانی بالای این ناهنجاری که با گستردگی کم ناهنجاری و تغییرات شدید مکانی آن مشخص است، نشان از وجود یک توده محلی حاوی کانی‌سازی مگنتیتی در ژرفای نسبتاً کم از سطح زمین در محدوده دارد. محل

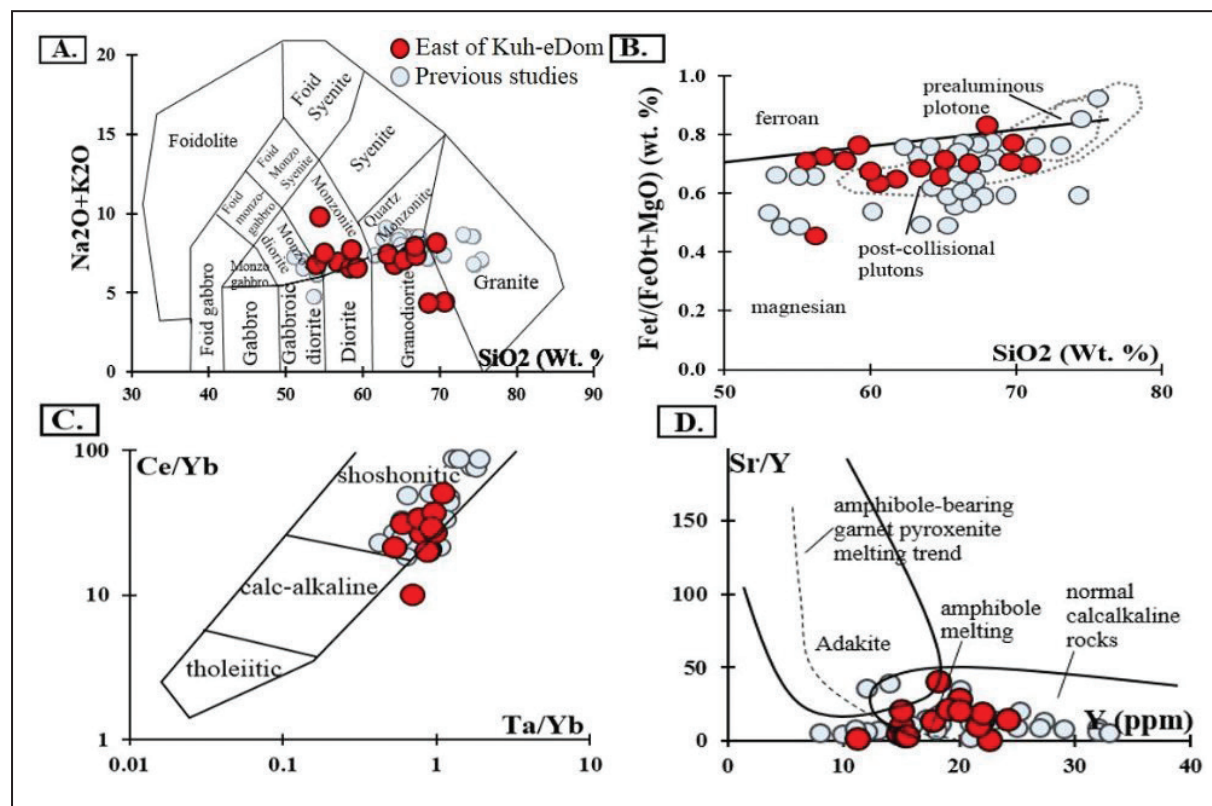


شکل ۵- نقشه شدت میدان مغناطیسی محدوده خاور کوه دم پس از انجام تصحیحات اولیه، حذف میدان مغناطیسی زمین و انتقال به قطب. مرز واحدهای زمین‌شناسی از نقشه زمین‌شناسی ۱:۱۰۰۰۰۰ (Sharkovski et al., 1981) در ترکیب با تصاویر ماهواره‌ای استخراج شده و روی نقشه شدت میدان مغناطیسی نشان داده شده است.

Figure 5. The Magnetic-field intensity map of East of Kuh-e Dom after pre-processing, earth magnetic field removal, and reduction to pole. The boundary of the geological units is extracted from the 1:100000 geological map (Sharkovski et al., 1981) in combination with satellite imagery of the region and shown on the map of the magnetic-field intensity.

داده ها با داده های منطقه معدنی مس - طلای کوه دم مقایسه شده اند (داده ها از .(Kananian et al., 2014; Sarjoughian et al., 2012b; Tale Fazel et al., 2015) ابتدا به مظلور برسی هوازدگی و دگرسانی نمونه ها در نمودار سه تابی (MFW) (Ohta and Arai, 2007) سه شاخص بازی - اسیدی - هوازدگی از اوتا و ارای (Ohta and Arai, 2007) مورد استفاده قرار گرفت که در آن گرانیتوییدهای خاور کوه دم (به جز سه نمونه) در ردیف سنگ های آذربین غیرهوازد جای گرفتند. سنگ های درونی منطقه مطالعاتی دامنه ترکیب متغیری دارند و میزان سیلیس بین ۵۳/۸۹ تا ۷۰/۵۴ درصد وزنی است. پیوستگی روند اکسیدهای عناصر اصلی و کمیاب از جمله Al_2O_5 P_2O_5 CaO MnO در برابر SiO_2 , MgO و TiO_2 , گواهی بر ارتباط ژنتیکی آنها با یک سری ماقمایی است به طوری که ممکن است ماغماهای مادر از یک مخزن ماغمایی و یا از ذوب یک سنگ منشأ مشابه مشتق شده باشند که با برسی های سنگنگاری و مطالعات پیشین همخوانی دارد (کعنیان و همکاران, ۱۳۸۷).

بر اساس رده بندی میدلموست (Middlemost, 1994) بیشتر نمونه های خاور کوه دم در محدوده فلیسیک (به جز دیوریت) قرار می گیرند (شکل ۶-۶). بر پایه شاخص شیمیایی آهن (Frost et al., 2001) نمونه های گرانیتوییدی در قلمرو گرانیت های منیزیمی (اسیدی نوع I) جایگرفته است (شکل ۶-۶) که می تواند به شرایط ذوب در خاستگاه این سنگ ها اشاره داشته باشد (Nabelek et al., 1992a, 1992b).



شکل ۶- نمودارهای دسته بندی برای سنگ های درونی تجزیه شده خاور کوه دم در مقایسه با گرانیتوییدهای منطقه معدنی کوه دم؛ (A) نام گذاری سنگ های گرانیتوییدی خاور کوه دم در نمودار SiO_2 در برابر $\text{Na}_2\text{O}+\text{K}_2\text{O}$ (Middlemost, 1994); (B) SiO_2 vs. Fe-index diagram after (Frost et al., 2001); (C) Shoshonitic and high-K series of the granitoid body on the Ta/Yb vs. Ce/Yb binary diagram (Pearce and Peate, 1995); (D) Adakitic affinity on the Y vs. Sr/Y diagram (Defant and Drummond, 1990). East-Kuh-e Dom granitoid plotted on the normal magmatism arc domain.

Figure 6. Classification diagrams for the analyzed intrusive rocks from the East Kuh-e Dom area compared with data from Kuh-e Dom mining area. A) Chemical classification of East Kuh-e Dom granitoids on SiO_2 vs. $\text{K}_2\text{O}+\text{Na}_2\text{O}$ (Middlemost, 1994); B) SiO_2 vs. Fe-index diagram after (Frost et al., 2001); C) Shoshonitic and high-K series of the granitoid body on the Ta/Yb vs. Ce/Yb binary diagram (Pearce and Peate, 1995); D) Adakitic affinity on the Y vs. Sr/Y diagram (Defant and Drummond, 1990). East-Kuh-e Dom granitoid plotted on the normal magmatism arc domain.

در بخش خاوری و مرکزی محدوده، ناهنجاری هایی با گسترش بالا و شدت کمتر از ۳۵° نانوتولا دیده می شود. به طور کلی بسامد مکانی پایین و شدت پایین این ناهنجاری ها نشان دهنده حضور منابع مغناطیسی ضعیف در ژرف است. در برخی از محل ها، این منابع به سطح نزدیک تر شده اند که باعث به وجود آمدن ناهنجاری هایی با شدت بالاتر گردیده است. این ناهنجاری ها در شمال خاور و خاور منطقه برداشت ژئوفیزیکی بر روی سنگ های آتشفسانی از جنس آندزیت و آندزیت بازالت دیده می شود و در شمال محدوده هم با توده های گرانیتوییدی منطبق می باشد و به نظر با کانی سازی آهن در ارتباط نمی باشند. ترکیب سنگ شناسی در لبه باختり گرانیتویید، مشکل از گرانو دیوریت، گرانیت و دیوریت است، در حالی که به سمت مرکز تا شمال منطقه، ترکیب مونزونیت شده و پیروکسن آنها با اکینولیت و کانی های آهن دار جایگزین شده است.

۶- زمین شیمی عناصر اصلی و فرعی توده های نفوذی در خاور کوه دم

توده های گرانیتوییدی نقش مهمی در تأمین عناصر کانه ساز سامانه های پورفیری و اسکارن دارند. برای تشخیص نوع توده های نفوذی رخمنون یافته در خاور کوه دم، شانزده نمونه با کمترین دگرسانی مورد تجزیه سنگ کل قرار گرفت. داده های به دست آمده از تجزیه شیمیایی اکسید عصرهای اصلی، فرعی و خاکی کمیاب منطقه خاوری کوه دم در جدول ۱ آمده است. در تمامی نمودارها، این

جدول ۱- ترکیب زمین شیمیایی سنگ کل از نمونه‌های توده نفوذی خاوری کوه دم. عناصر اصلی بر حسب درصد وزنی و عناصر فرعی بر حسب ppm گزارش شده‌اند.
 اختصاری‌ها: Di- دیوریت، Gd- گرانودیوریت، Gr- گرانیت، Mz- مونزونیت، Qmz- کوارتزمونزونیت.

Table 1. Whole rock geochemical composition for the samples of East of Kuh-e Dom intrusive body. The major elements are reported in wt.% and trace elements are in ppm. Abbreviations: Di-diorite, Gd-granodiorite, Gr-granite, Mz-monzonite, Qmz-quartz monzonite.

Sample	SH 01	SH 247	SH 07	SH 145	SH 227	SH 187	SH 292	SH 211
name	Mz	Qmz	Qmz	Mz	Mz	Mz	Di	Gd
wt. %								
SiO ₂	53.89	54.29	54.90	56.67	58.25	58.41	59.23	63.23
Al ₂ O ₃	16.67	15.60	15.74	11.91	13.99	14.69	15.44	12.70
CaO	6.56	6.18	6.69	8.05	5.91	7.71	6.28	4.45
Fe ₂ O ₃	5.97	2.74	5.12	4.86	6.16	3.62	4.75	5.10
K ₂ O	3.51	5.95	4.84	5.26	3.65	4.92	3.32	4.42
MgO	2.23	3.18	1.92	1.65	1.84	1.54	2.64	2.30
MnO	0.11	0.11	0.19	0.25	0.14	0.22	0.21	0.06
Na ₂ O	3.31	3.87	2.67	1.73	2.95	2.84	3.25	3.03
P ₂ O ₅	0.20	0.17	0.25	0.07	0.17	0.21	0.15	0.01
SO ₃	0.12	1.49	0.10	0.05	0.04	0.12	0.11	0.05
TiO ₂	0.70	0.83	0.80	0.74	0.73	0.82	0.56	0.05
BaO	0.54	0.85	0.55	0.38	0.50	0.06	0.07	0.05
LOI	5.76	4.67	5.46	7.48	4.22	4.54	3.38	3.93
Total	99.57	99.93	99.23	99.10	98.55	99.70	99.39	99.38
ppm								
Ba	482	759	493	343	451	598	642	48
Ce	45	36	60	37	54	58	40	53
Co	15	5.4	12	16.5	14	7.4	16.8	1
Cu	8	24	17	91	50	14	33	6
Dy		3.64		3.43	6.99	4.54	4.19	2.89
Er		1.8		1.52	3.49	2.39	2.32	1.45
Eu		2.64		1.61	3.99	3.52	2.84	0.31
Gd		2.79		2.62	5.39	4.38	3.33	2.29
Hf		1.8		1.24	1.81	1.72	0.93	1.89
La	28	11	35	19	28	25	20	28
Li	26	63	28	39	26	31	34	47
Lu		0.29		0.24	0.54	0.44	0.38	0.27
Nb		8.8		2.4	33.4	26.1	10.8	10.6
Nd		18.5		16.6	43.4	34	23.5	13.4
Ni	12	14	16	29	12	24	140	6
P	860	753	1095	319	724	922	690	40
Pb	13	<1	32	9	9	362	<1	1
Pr		3.79		3.83	10.71	9.74	6.47	3.13
Rb		246		139	163	184	125	76
Sm		4.03		1.72	8.75	7.49	5.19	<0.02
Sr	422	567.7	428	249.2	320.1	366.8	419	30.8
Ta		0.58		0.62	1.99	1.89	1.02	0.62
Tb		0.6		0.57	1.2	0.81	0.74	0.49
Th	<5	15.49	<5	35.2	30.97	19.72	9.31	11.65
Ti		1.62		0.44	0.69	0.58	0.4	0.22
Tm		0.3		0.23	0.55	0.4	0.45	0.23
U	<5	2.8	<5	5	7.3	4.5	3.5	3.6
Y	19	20	19	17.7	22	24.2	20	22.6
Yb	2.1	1.8	2.1	1.8	2	2	1.9	2
Zr	20	32	20	14	19	24	45	46
Zn	42	64	42	78	62	73	81	7

Table 1. Continued

Sample	SH 156	SH 32	SH 234	SH 283	SH 263	SH 233	SH 39	SH 214
name	Gd	Gd	Gd	Gd	Gr	Gd	Gr	Gd
wt. %								
SiO ₂	64.12	65.22	66.00	66.71	66.84	68.51	69.56	70.54
Al ₂ O ₃	12.31	15.27	12.83	13.58	12.86	8.38	13.88	12.18
CaO	3.22	3.04	3.97	1.45	1.38	1.83	2.22	0.63
Fe ₂ O ₃	3.82	4.65	4.83	0.89	2.76	4.39	2.05	4.48
K ₂ O	5.53	3.78	4.18	5.94	7.17	2.85	2.65	3.37
MgO	2.03	1.67	1.60	0.36	0.48	1.69	0.57	1.92
MnO	0.25	0.06	0.12	0.02	0.02	0.02	0.08	0.03
Na ₂ O	1.26	3.36	3.19	2.06	0.23	1.56	5.55	1.08
P ₂ O ₅	0.05	0.14	0.16	0.02	0.05	0.19	0.14	0.05
SO ₃	0.09	0.19	0.03	0.10	0.24	2.53	0.09	0.05
TiO ₂	0.17	0.41	0.58	0.07	0.16	0.36	0.27	0.16
BaO	0.66	0.59	0.63	0.06	0.06	0.06	0.30	0.02
LOI	6.09	1.08	2.72	8.26	7.49	8.28	2.88	5.32
Total	99.60	99.46	100.84	99.52	99.74	100.65	100.24	99.83
ppm								
Ba	593	524	567	575	583	552	273	151
Ce	32	36	56	59	75	18	29	77
Co	8.7	14	12.7	1	3.4	6.1	2	3.3
Cu	24	6	59	5	18	101	11	6
Dy	2.58		3.57	3.01	2.43	0.96		2.12
Er	1.28		1.68	1.85	1.43	0.63		1.01
Eu	1.71		2.16	1.88	2.39	1.51		0.81
Gd	2.06		3.09	3.31	3.69	1.71		2.77
Hf	1.66		1.02	2.17	2.13	1.01		1.87
La	15	22	29	30	40	14	15	42
Li	51	17	39	14	37	62	16	51
Lu	0.24		0.24	0.38	0.24	0.13		0.16
Nb	12.2		1	12.1	7.6	3.5		10.1
Nd	12		16.5	24.5	25.9	3.6		20.5
Ni	18	4	18	8	9	23	4	9
P	213	600	686	104	233	837	605	212
Pb	<1	9	13	<1	<1	353	5	<1
Pr	2.57		5.06	7.39	7.77	1.24		5.03
Rb	160		139	196	170	54		78
Sm	1.22		3.13	4.4	3.28	<0.02		1.06
Sr	78.6	310	234.1	51	61.7	744.8	158	23.3
Ta	1.42		1.09	1.56	0.67	0.27		0.78
Tb	0.43		0.61	0.62	0.56	0.31		0.45
Th	11.79	<5	15.38	16.96	11.57	10.45	<5	10.58
Ti	0.92		0.47	0.71	0.96	0.2		0.24
Tm	0.22		0.27	0.32	0.27	0.15		0.16
U	2.9	<5	3.6	3.7	3.3	18.3	<5	3
Y	14.7	15	21.6	15.4	15.2	8.1	15	11.2
Yb	1.6	1.7	1.8	1.6	1.5	1.8	1.2	1.3
Zr	29	12	12	42	61	33	35	56
Zn	36	35	83	3	24	53	15	20

شیمی سنگ‌های فلزیکی پیش و پس از کوهزایی، نمودارهایی برای تفکیک گرانیتوییدهای وابسته به کمان (arc) از گرانیتوییدهای وابسته به گسیختگی صفحه فرورونده (slab failure) نشان داده اند. از دید سنگ شناسی ماقماهای دسته دوم متفاوت است. آنها از فرایندهای ژرف تر گوشه‌ای پدیده می‌آیند که مشتمل بر ذوب بخشی متابالات/گابرو بخش بالایی صفحه فرورونده شکسته شده، همراه با اقیانوسیه اکلوژیت دارای گارنت و فاقد پلاژیو کلاز هستند. گرانیتوییدهای خاور کوه دم، در نمودارهای دوتایی پرس $\text{Y}+\text{Nb}$ در برابر Rb و همچنین Y در برابر Nb که از سوی (Whalen and Hildebrand, 2019) اصلاح شده است، در ردیف گرانیت‌های کمان آتشفشنی و وابسته به گسیختگی صفحه فرورونده در حواشی غفال قاره‌ای قلمداد می‌شود (شکل ۷-۸C و D).

۸- تعیین خاستگاه ماقماهای والد گرانیتوییدهای

نحوه پیدایش ماقماهای مونزونیتی شوشوئیتی مرتبط با گرانیتوییدهای کوهزایی همیشه مورد بحث بوده است، اما به طور گسترده شواهد مبنی بر پیدایش آنها از طریق ذوب بخشی پوسته بازیک ستر شده زیرین (با ظرفی ۵۰ کیلومتر) بوده است، مانند یک گوشه جوانی که جزوی از سست کره بوده و در زیر ورقه قاره‌ای جای گرفته است (Hou et al., 2004, 2005). مطالعات تجربی به وسیله گوالدا و همکاران (2012) نشان می‌دهد این ماقما از ذوب بخشی پریدویت‌های تغییر یافته دارای کانی‌های آبدار مانند آمفیول پارگازیت و فلوگوپیت و واکنش گوشه با مذاب‌های سیلیسی آبدار پدید آمده است، این بدان مفهوم است که آنها به طور ساده از ذوب بخشی سنگ کرده متاسوماتیسم شده توسط عوامل فروراش شکل می‌گیرند (Ghiorso and Sack, 1995).

نسبت La/Nb (۱/۸۳) برای سنگ‌های خاور کوه دم، بیانگر خاستگاه لیتوسفری ماقماهای مولد این سنگ‌هاست (DePaolo and Daley, 2000). برای تمایز خاستگاه گوشه و پوسته از نسبت Nb/Ce می‌توان استفاده کرد. این نسبت در گوشه ۱/۱۰۱ و در پوسته ۰/۴۶ است. میانگین Nb/Ce در گرانیتوییدهای خاور کوه دم ۰/۰۲۴ می‌باشد که نقش پوسته را در تکامل ماقماهی مادر تقویت می‌کند. میزان بالای SiO_2 (۶۲/۲۷) و نسبت‌های پایین Ti/Zr و Nb/La (به ترتیب ۲۰/۲۸ و ۰/۹۴) احتمال خاستگاه گوشه را در گرانیتوییدهای منطقه خاور کوه دم کمرنگ‌تر می‌کند (Woodhead et al., 1993). مقادیر نسبت‌های Ce/Pb در مقایسه با مورب و OIB نشانگر این است که مولفه‌های پوسته قاره‌ای در منشا دخالت پیشتری داشته است (Hofmann et al., 1986). هرچند نسبت‌های بالای Ce/Pb (۲۰/۲۹) در برخی نمونه‌ها، آلایش گوشه‌ای و یا تأثیر هضم اندک گوشه را نشان می‌دهد (Rudnick and Gao, 2003). بالا بودن نسبت Ba/La (۲۳/۶۴) می‌تواند نشانه مشارکت پوسته‌ای در گرانیتوییدها باشد (Hole et al., 1984). میانگین نسبت La/Yb در پوسته زیرین (۱۳/۶)، در پوسته بالایی حدود ۵ و در گوشه غنی شده ۲/۶۵ است (McDonough and Sun, 1995) و نسبت بالای La/Yb (۱۲/۳۹) در گرانیتوییدهای خاور کوه دم، نقش پوسته زیرین را در تکامل ماقماهی سازنده آنها تقویت می‌کند. مقایسه نمونه‌های گرانیتوییدی خاور کوه دم با میانگین پوسته و گوشه در نمودار Ba/Rb در برابر Rb/Sr (شکل A-۸)، افزایش Rb/Sr را در نتیجه عواملی همچون تفرقی، اختلاط و آلایش با مواد پوسته بالایی قاره‌ای در هنگام صعود بازگو می‌کند (Furman and Graham, 1999). در نمودار Ta/La در برابر Sm/Zr ، سنگ‌های خاوری کوه دم روی خط هذلولی اختلاط ماقماهی جای می‌گیرند که خود نشانه‌ای از ناهمگنی در سنگ مشا ماقماست (شکل B-۸) و با نتایج ایزوتوبی Sr و Nd مقایسه شده در برونیوم‌های بازیک و سنگ میزان گرانیتویید کوه دم سازگاری دارد (Sarjoughian et al., 2012). افزون بر حضور برونیوم‌های بازیک، مشاهده پدیده‌های غیر تعادلی (بافت‌های آنتی راپاکیوی، منطقه بندی ترکیبی، غربالی و غباری در پلاژیو کلاز، خوردگی و گردشگی حواشی بلور) در گرانیتوییدهای

ویژگی اکسیدی با حضور هورنبلند، مگنتیت و اسنن در نمونه‌ها سازگاری دارد. گرانیتوییدهای غیرکوهزایی و درون صفحه‌ای (نوع A) در دسته گرانیت‌های آهن دار قرار دارند در حالیکه گرانیتویید کمان‌های قاره‌ای و اقیانوسی از نوع منزیمی هستند (Frost et al., 2001). بر پایه شاخص کلسیمی - قلایایی ($\text{MALI}=\text{Na}_2\text{O}+\text{K}_2\text{O}-\text{CaO}$) پیکوک که از اسیافیت و همکاران (Frost et al., 2001) اصلاح شده است بیشتر نمونه‌ها ویژگی قلایایی - کلسیمی متمایل به قلایایی دارند. بیشتر سنگ‌های درونی متا آلومین (با ضریب اشباع از آلومین) بوده و در سری ماغماهای شوشوئیتی دسته‌بندی می‌شوند. حضور کلینوپیروکسن همراه با بیوتیت، با ماهیت شوشوئیتی سنگ‌ها سازگاری دارد (Conceicao and Green, 2004). عناصر Ta ، Yb و Ce به دلیل تحرک بسیار کم در دگرسانی، جهت بررسی بهتر تمایلات شوشوئیتی سنگ‌های مورد مطالعه مناسب هستند. این سنگ‌ها در نمودار تغییرات Ta/Yb در برابر Ce/Yb در سری شوشوئیتی واقع می‌شوند (شکل ۶-۶C). ویژگی شوشوئیتی سنگ‌های نفوذی خاور کوه دم با توجه به میزان K_2O (۲/۶۵ تا ۷/۷) درصد) و نسبت بالای $\text{K}_2\text{O}/\text{Na}_2\text{O}$ (میانگین ۳/۷ درصد) آنها سازگاری دارد. کاسارهای پورفری مس و طلا، همراه با سنگ‌های شوشوئیتی و کالک‌آلکالن پتانسیم بالا هستند و ممکن است تمایلاتی به آدکیتی نشان دهند (Hou et al., 2004; 2005). از این رو بررسی ماهیت آدکیتی گرانیتوییدهای فلزیکی، اهمیت دارد. همان‌طور که در شکل D-۶ دیده می‌شود، نمونه‌های گرانیتوییدی خاور کوه دم در نمودار Sr/Y در برابر Y (Defant and Drummond, 1990) در محدوده پیشنهاد شده برای آدکیت‌ها قرار نگرفتند. پایین بودن نسبت‌های Sr/Y (میانگین ۱۴/۶۳) و La/Yb (میانگین ۱۲/۳۹)، ارتباط نمونه‌های گرانیتوییدی خاور کوه دم را با آدکیت‌ها متنبی می‌کند.

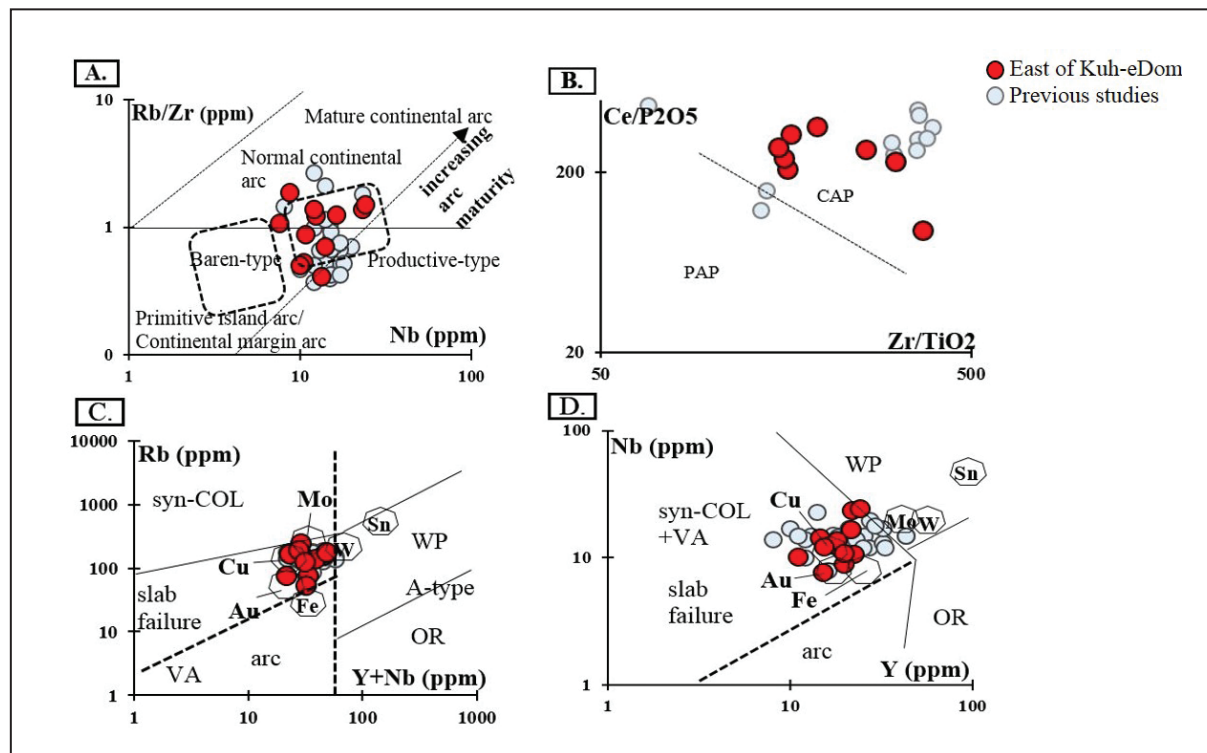
۷- تعیین جایگاه زمین‌ساختی

همچنان که پیش تر اشاره شد، گرانیتوییدهای خاور کوه دم مربوط به کمان هستند و ویژگی بازش شوشوئیتی نشان می‌دهند. شوشوئیت‌ها مراحل نهایی میان فعالیت ماقماهی کالک‌آلکالن و آلکالن در طول تکامل برخورد هستند و به طور کلی در سه محیط‌های بالای پهنه فروراش (در بخش ژرف آن)، محیط کوهزایی و به ندرت در محیط‌های کششی درون قاره‌ای دیده می‌شوند. سنگ‌های آذرین پتانسیم دار جوان در پنج جایگاه زمین‌ساختی متفاوت، کمان قاره‌ای (CAP)، کمان پس برخوردی (PAP)، جزایر کمان اقیانوسی (OAP) مشتمل بر جزایر کمان اقیانوسی اولیه (IOP) و کمان اقیانوسی پسین (LOP)، و همچنین درون صفحه‌ای (WIP) یافت می‌شوند (Müller et al., 1992). جهت بررسی ویژگی بلوغ کمان، نمودار Nb در برابر Rb/Zr (شکل A-۷) نشان می‌دهد نمونه‌های خاور کوه دم در ردیف وابسته به کمان‌های قاره‌ای میانسال (مراحل میانی فروراش) و در پنج‌جه تودهای بارور قرار دارند (Brown et al., 1981). برای تمايز کمان اقیانوسی از قاره‌ای از نمودار Zr/TiO_2 در برابر $\text{Ce}/\text{P}_2\text{O}_5$ بهره گرفته شد که بر این اساس، نمونه‌های خاور کوه دم در میدان گرانیتوییدهای کمان قاره‌ای (CAP) جای گرفته‌اند (شکل B-۷). افزون بر این، از نمودار مثالی $\text{Ta}-\text{Hf}-\text{Rb}$ پیشنهادی مولر و همکاران (Müller et al., 1992) برای شناسایی پهنه زمین‌ساختی سنگ‌های شوشوئیتی کوه دم، به کار گرفته شد (نمایش نشده است). بیشتر نمونه‌های مربوط به توده نفوذی در جایگاه گرانیتویید برخوردی قرار می‌گیرند. در همین راستا با استفاده از عناصر اصلی، در نمودار R1-R2 (نمایش نشده است) نمونه‌ها یک روند خطی نشان داده و در مرز میان گرانیتوییدهای قبل از برخورد و فراخاست پس از برخورد قرار می‌گیرند، به عبارت دیگر از دید زمین‌شیمیایی مشابه گرانیتوییدهای همزمان با برخورد و در زون همگرا هستند. والن و هلبراند (Whalen and Hildebrand, 2019)، با مقایسه ترکیب

برابر La/Sm به کم بودن گارنت در خاستگاه ماقماهی این سنگ‌ها اشاره دارد (شکل ۸) و تاییدکننده نسبت پایین Y/Sr در گرانیتوییدهای خاور کوه دم است (Moyen, 2009). در خاور کوه دم، نسبت‌های بالای La/Sm (۷/۵۳) و پایین Sm/Yb (۱/۸۹) بیانگر حضور کانی پیروکسن در باقیمانده مذاب است. فورمان و گراهام (1999) (Furman and Graham, 1999) بیان کرده‌اند که نسبت‌های Rb/Sr و مذاب در حال تعادل با یک منع حاوی فلوگوپیت، به ترتیب بیشتر از ۰/۱ و کمتر از ۱۵ است. در نمودار تغییرات Rb/Sr در برابر Nb/Th فلوگوپیت نقش آشکارتری نسبت به آمفیبول در خاستگاه ماقماهی به وجود آورند. گرانیتوییدهای منطقه مطالعاتی دارد (شکل ۸-E). نسبت‌های La/Sm و Sm/Yb به سمت را پوسته حساس هستند. به منظور تعیین کانی‌شناسی سنگ منشا و تمایز گارنت پریدوتیت و اسپینل پریدوتیت، نمونه‌های خاور کوه دم در نمودار Sm/Yb در برابر La/Sm (شکل ۸-F) در بخش اسپینل لرزولیت همراه با کمی گارنت جای می‌گیرند (Aldanmaz et al., 2000). از این رو ماقماهی سازنده گرانیتوییدهای خاور کوه دم، ماقماهی اولیه نبوده و گمان می‌رود از ذوب‌بخشی یک خاستگاه اسپینل لرزولیت فلوگوپیت دار غنی شده، پدید آمده باشد. محدوده پایداری اسپینل ژرفای کمتر از ۷۰ کیلومتر است.

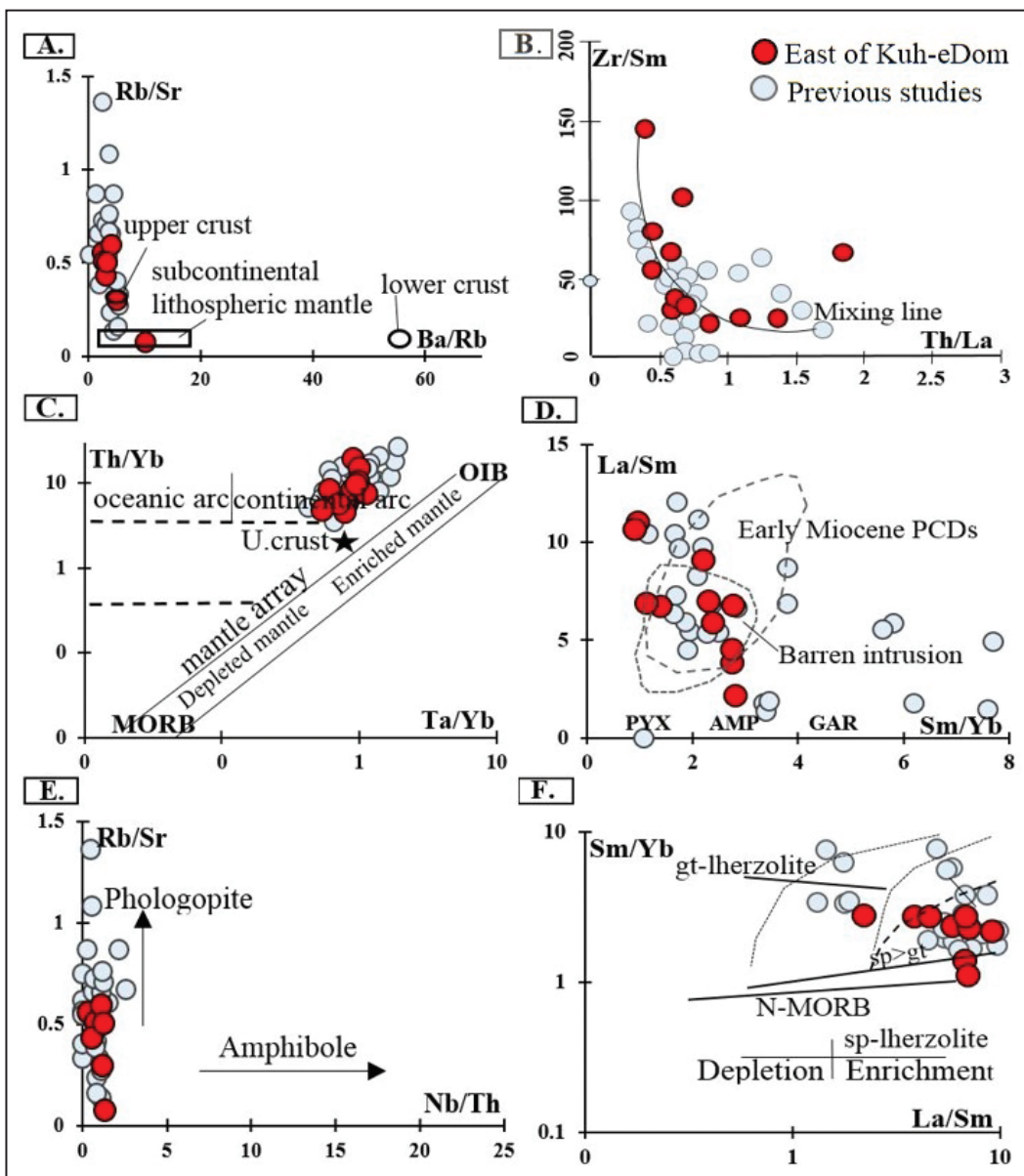
خاور کوه دم تاییدکننده این تحولات ماقماهی هستند و نشان می‌دهند که در طی تکوین و تحول ماقماهی، فرایندهای آمیختگی با ماقماهی پوسته‌ای و یا هضم پوسته در مخزن ماقماهی کم ژرف دخالت داشته است. در نمودار Th/Yb در برابر Ta/Yb نمونه‌های گرانیتوییدی در بیرون از محدوده آرایه گوشتاتی، در میدان ماقماهی شوشنیتی کمان قاره‌ای قرار رفته‌اند (Pearce, 2008) و ماقماهی خاستگاه آنها در پی ذوب‌بخشی یک گوشته غنی شده پدید آمده‌اند (شکل ۸-C). بنابراین یافته‌های بدست آمده با مطالعات پیشین سرجوقیان و همکاران (Sarjoughian et al., 2012a, 2012b, 2015) که توده نفوذی کوه دم از اختلاط ماقماهی مشتق از پوسته و گوشته به وجود آمده است. غنی شدگی Th نسبت به Ta و نسبت بالای Th/Yb می‌تواند بیانگر یک خاستگاه متاسوماتیسم شده باشد که تحت تاثیر شاره‌های آزاد شده از ورقه فرورو و یا آلایش پوسته‌ای و یا هر دو فرآیند، غنی شدگی را تحمل کرده است (Gorton and Schandl, 2000; Kuscu et al., 2010). مقادیر پایین نسبت‌های Nb/Zr (۰/۷۴)، Nb/Y (۳۶/۶) و Ba/Th (۰/۸) و دامنه گسترده نسبت‌های Ce/P₂O₅ (۰/۸) و Th/Zr (۳۹/۷) Ba/La (۰/۵) تا (۰/۳۱) دخالت سیال و نقش رسوب را تایید می‌کند (Hawkesworth et al., 1999).

وجود گارنت در خاستگاه وابستگی شدیدی دارد، نمودار Sm/Yb در



شکل ۷- نمودارهای تمایزکننده جایگاه زمین ساختی برای گرانیتوییدهای خاور کوه دم. (A) در نمودار تغییرات Nb در برابر Rb/Zr، نمونه‌ها به کمان قاره‌ای نرم تعلق دارند؛ (B) در نمودار تغییرات Zr/TiO₂ در برابر Ce/P₂O₅، نمونه‌ها متعلق به محیط کمان قاره‌ای (CAP) تشخیص داده شده‌اند (Müller et al., 1992). (C) و (D) در نمودارهای دو تابی پرس Y+Nb در برابر Rb و همچنین Y در برابر Nb (Whalen and Hildebrand, 2019) نمونه‌ها در ردیف گرانیت‌های کمان آتش‌شناختی و مرتبط با گسیختگی صفحه فرورونده در حواشی فعال قاره‌ای قلمداد می‌شوند.

Figure 7. Tectonic setting discrimination diagrams for the East Kuh-e Dom granitoid. A) On Nb vs. Rb/Zr discrimination diagram, taking into account arc maturity, samples belong to a normal continental arc; B) Zr/TiO₂ vs. Ce/P₂O₅ variation plot. The samples have been identified as related to the continental arc (CAP) environment (Müller et al., 1992). C and D) on the Pearce binary diagram of Y+Nb vs. Rb and also Y vs. Nb (Whalen and Hildebrand, 2019). All samples fall in the volcanic arc granites field correlating with the slab failure and are related to the active continental margin.



شکل ۸- نمودارهای تغییرات ترکیبی گرانیتوئیدهای خاور کوه دم. (A) نمودار Rb/Sr در برابر Rb/Ba نمونه‌ها اختلاط میان پوسته بالایی با گوشته سنگ کره‌ای نیمه قاره‌ای را تأیید می‌کنند; (B) در نمودار Zr/Sm در برابر Th/La بیشتر نمونه‌ها یک منحنی هذلولی اختلاط تعریف می‌کنند؛ (C) نمودار Ta/Yb در برابر Th/Yb ، نمونه‌ها نسبت بالای Th/Yb دارند و بیرون از محدوده و به موازات آرایه گوشته‌ای مخصوص به حاشیه فعال قاره‌ای قرار می‌گیرند (Pearce, 1983)؛ (D) نمودار Sm/Yb در برابر La/Sm نسبت پایین Sm/Yb دارند و با فاز کانیابی باقیمانده (پیروکسن-آمفیبول) سازگارند پایینی از Nb/Th نسبت به آنها بیکار است که از گوشته آمفیبول دار منشأ میگیرند نشان می‌دهند؛ (E) نمودار Nb/Th در برابر Rb/Sr و Rb/Sr در برابر Nb/Th (PYX- pyroxene, AMP- amphibole, GAR- garnet)؛ (F) نمودار Sm/Yb در برابر La/Sm برای خاستگاه کانی شناسی و تفاوت میان مذاب مشتق از گارننت پریدویت و اسپینل پریدویت استفاده می‌شود (Aldanmaz et al., 2000).

Figure 8. Compositional variation diagrams for the East Kuh-e Dom granitoid. A) Ba/Rb vs. Rb/Sr diagram, samples confirm a mixing between the subcontinental lithospheric mantle and upper crust components; B) In the plot of Zr/Sm vs. Th/La , most samples define a hyperbolic mixing line; C) Th/Yb vs. Ta/Yb . Samples display high Th/Yb values and plot outside and parallel to the mantle array, assignable to active continental margins (Pearce, 1983); D) Plots of Sm/Yb against La/Sm . Samples have low Sm/Yb ratios, consistent with pyroxene-amphibole as the residual mineral phases. PYX- pyroxene, AMP- amphibole, GAR- garnet; E) Nb/Th vs. Rb/Sr diagram. Both Rb and Sr are compatible in phlogopite. Samples show a lower Nb/Th ratio than those formed from the amphibole-bearing mantle. F) The plot of Sm/Yb vs. La/Sm is used to constrain the source mineralogy and differentiate between melt derived from garnet peridotite and spinel peridotite (Aldanmaz et al., 2000).

۹- الگوی احتمالی تکتونوماگمایی

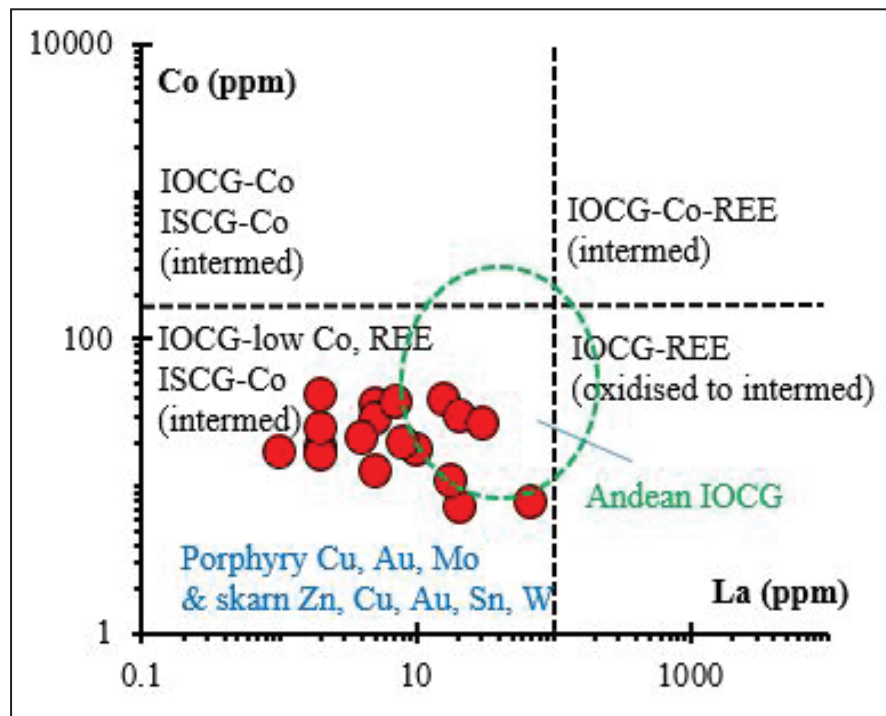
ماگمایی گوشته‌ای در زیر پوسته زیرین مستقر و افزایش شیب دمایی پوسته زیرین را گرم و ذوب می‌کند و هر جا که ساخته‌های سنگ کره‌ای اجازه جریان ماگمای را به درون پوسته بدهد، آلاش و اختلاط با ماگمایی پوسته‌ای پیدا کرده و توده‌های درونی شوشوئیتی جایگیری می‌شوند. از این رو سنگ‌های درونی خاور کوه دم در یک دامنه زمانی ۵۱ تا ۵۴ میلیون سال با عملکرد گسل‌های پی‌سنگی در میان سنگ‌های آتش‌شکانی اتوسین زیرین، آهک‌های کرتاسه و مجموعه دگرگونی منطقه نفوذ کرده‌اند (شکل ۱-B).

۱۰- مقایسه مجموعه گرانیتوپیدی خاور کوه دم با توده‌های مولد کانسارهای پورفیری، اکسید آهن مس- طلا و اسکارن آهن

همان‌گونه که تاکنون برسی شد ویژگی زمین‌شیمیایی گرانیتوپیدهای بخش خاوری همراه با کانه‌زایی آهن، تشابه فراوانی با گرانیتوپید همراه با طلای کوه دم دارد. ماگماتیسم شوشوئیتی منطقه کوه دم که همراه با محیط زمین‌ساختی برخورد رخ داده است، سبب شده برخی پژوهشگران، کانه‌سازی همراه آن را به پورفیری نسبت داده (Sarjoughian et al., 2015) و برخی آن را از نوع IOCG دانسته اند (Tale Fazel et al., 2015). اصولاً پورفیری‌های نواحی برخوردی، آکالینیته بیشتری داشته و غنی از طلا هستند و کانسارهای مس- طلا پورفیری نوع قلبی و طلای اپی‌ترمال (Richards and Mumin, 2012) (Richards, 2009; Richards and Mumin, 2012) این چنین پورفیری، متفاوت از پورفیری‌های معمول شکل گرفته در کمان بوده و به طور ویژه، فقیر از گوگرد و غنی از مگنتیت هستند و از نگاه جایگاه زمین‌ساختی و ترکیب ماگمایی همراه، همبوشانی زیادی با کانسارهای دسته IOCG نشان می‌دهند. کانسارهای IOCG (اکسید آهن مس- طلا) و ISCG (سولفید آهن مس- طلا) با سنگ‌های غنی از آهن (۱۵ تا ۶۰ درصد) به میزانی کافی مگنتیت یا هماتیت فقیر از تیتانیم همراهند. هرچند سولفید آهن و سیلیکات آهن هم در آنها متداول است.

با توجه به همبری ماگماتیسم با واحد آهکی کرتاسه، رخنمون‌های متعدد مگنتیت اسکارنی در منطقه خاور کوه دم برخورد یافته است. توده‌های نفوذی همراه با اسکارن‌های آهن دنیا، محتوای SiO_2 و K_2O کمتر، تهی شدگی عناصر Sc و Ni و مقدار Mg بیشتری نسبت به توده‌های نفوذی همراه با دیگر اسکارن‌ها (مس، طلا، مولیبدن، قلع و تنگستن) دارند و شواهد کمتری از تفرقی یافته‌گی نشان می‌دهند (Meinert et al., 1995). مقایسه ترکیب شیمیایی مجموعه گرانیتوپیدی خاور کوه دم با توده‌های بارور همراه با سامانه‌های مس پورفیری و توده‌های نفوذی مرتبط با انواع ذخایر اسکارن، اهمیت دارد. به خاطر تفرقی عناصر Mn و Y، نمونه‌های خاور کوه دم در نمودار تغییرات Y در برابر MnO از بالدوین و پیرس (Baldwin and Pearce, 1982) در محدوده توده‌های نابارور جای گرفته است و این نمودار در منطقه کوه دم کاربرد ندارد، در حالی که در نمودار Nb در برابر Zr/Rb بیشتر نمونه‌ها در محدوده توده‌های بارور همراه در مرحله میانسالی کمان قاره قرار دارند (شکل A-7). همچنین در بیشتر نمودارهای مقایسه‌ای با اسکارن‌ها، بین ترکیب شیمیایی سنگ‌های گرانیتوپیدی خاور کوه دم با پلوتونیت‌های اولیه همراه با اسکارن‌های آهن شاهت کمتری به چشم می‌خورد هر چند در برخی نمودارهای دوتایی، مانند تغییرات Ni در برابر V و یا نمودار Zr در برابر Rb/Sr، تشابهاتی دیده می‌شود. همچنین، حاصل برسی های La در برابر Co کاستنگ مگنتیت دار (شکل ۹)، نشان می‌دهد نمونه‌های خاور کوه دم در محدوده کانسارهای برخوردی IOCG فقیر از Co و REE، اسکارن و پورفیری قرار می‌گیرند (فرنگی، ۱۴۰۱).

سنگ‌های پرتپاسیم و شوشوئیتی مناطق کوه دم، کال کافی، بادرود، عشن، خور، گدار سیاه (طباطبایی‌منش و همکاران، ۱۳۹۲)، عروسان کبودان و انارک در کرانه جنوب باختزی پهنه ایران مرکزی، در یک امتداد خطی جای گرفته‌اند (شکل ۱) و بر پایه سن سنجی‌های پرتپاسیم-آرگون، رویداد شوشوئیتی در این مناطق از ۳۹ تا ۵۴ میلیون سال پیش به طول انجامیده است (Sharkovski et al., 1984; Aistov et al., 1984). برخی از پژوهشگران، فعالیت‌های ماگمایی مناطق یادشده را به کمان ارومیه-دختر نسبت می‌دهند. به باور احمدیان و همکاران (Ahmadian et al., 2009) در پی بسته شدن اقیانوس تیس نو (۵۰-۳۵ میلیون سال)، به تدریج سبرای پوسته برخوردی ایران مرکزی افزایش می‌باید و در اثر لایه لایه شدن (delamination) گوشته سنگ‌کره و بالا آمدن سست کره، حوضه پشت کمان ماگمایی ارومیه-دختر توسعه یافته و شوشوئیت‌های مس- طلای کال کافی (۶۰-۵۳ میلیون سال) پدید آمده است. افزون بر این، کنانیان و همکاران (Kananian et al., 2014) شوشوئیت‌های طلای کوه دم را بخشی از کمان ارومیه-دختر دانسته که در یک محیط زمین‌ساختی حاشیه فعال قاره‌ای مرتبط با فروزانش سنگ‌کره اقیانوسی تیس نو به زیر صفحه خرد قاره ایران مرکزی شکل گرفته‌اند. این در حالیست که دیگر سنگ‌شناسان، شوشوئیت‌های این ناحیه را بخشی از یک کمان ماگمایی مجراء، باریک و کوچک متوجه از یک فروزانش فرعی در حاشیه خرد قاره ایران مرکزی می‌پندارند (Rajabi and Torabi, 2012; Torabi et al., 2014; Goli et al., 2021; Shademan and Torabi, 2022). از این رو به نظر می‌رسد وابستگی نمونه‌های سنگی مناطق یادشده به کوه‌هایی و برخورد، کمی ناهمخوانی در تفسیرها به وجود آورده و مبحث جایگاه زمین‌ساختی شوشوئیت‌های کرانه جنوبی ایران مرکزی را پیچیده کرده است. بدلیل دیدگاه قاسمی و تالبوت (Ghasemi and Talbot, 2006) مبنی بر وجود دو دوره فروزانش متوالی برای اقیانوس نایین-بافت همچون دریای تیس نو، زمان نهایی بسته شدن اقیانوس نایین-بافت (حوضه پشت کمان) به کمک داده‌های سنی (۶۷-۹۳ میلیون سال) از سنگ‌های آمفیولیت و گابرو کمرنده افیولیتی نایین، ماستریشتن (کرتاسه بالایی) و یا حتی پالوسن در نظر گرفته می‌شود (Moghadam et al., 2009; Ghazi et al., 2012; Shafaii Moghadam, 2013). میلیون سال برای آمفیولیت و ترونجمیت شاخه اصلی دریای تیس نو که در لبه باختزی سنتنگ-سیرجان قرار دارد گزارش شده است (Holtmann et al., 2021). به دلیل بود داده‌های ایزوتوپی مناسب، اظهار نظر در مورد سن و جایگاه ساختاری گرانیتوپیدهای محدوده خاوری کوه دم مشکل است. در هر حال با توجه به یافته‌های حاضر و مطالعات پیشین می‌توان گفت به دنبال فروزانش پوسته اقیانوسی تیس نو به زیر سنتنگ-سیرجان و شکل گیری کمان ماگمایی ژوراسیک (Holtmann et al., 2021) و تداوم بسته شدن دریای نایین در کرتاسه بالایی (Shafaii Moghadam, 2013)، در اقیانوس برخورد دو صفحه عربی و اوراسیا بر سبرای پوسته ایران و تداوم بسته شدن دریای نایین در کرتاسه بالایی (Okay et al., 2013) در افقی می‌شود (Verdel et al., 2011; Okay et al., 2022). بررسی‌های زمین‌شیمیایی (Verdel et al., 2011; Okay et al., 2022) و حاشیه فعل اقماری نابالغ به کمان ماگمایی حاشیه قاره‌ای معمولی تغییر ماهیت می‌دهد (شکل A-7). در پاسخ به افزایش سبرای پوسته و فشارزدایی، قطعه فرورونده شکسته (شکل C-7 و D) و نازک شدگی پوسته ۴۰ کیلومتر، ۱۱۳ در برابر Zr در برابر Rb/Sr، تشابهاتی دیده می‌شود (Ahmadian et al., 2009). رخداده و سبب ماگماتیسم پالوسن بالایی-اوسن (Verdel et al., 2011; Okay et al., 2022) می‌شود (Zirben et al., 2011). بررسی‌های زمین‌شیمیایی (Verdel et al., 2011; Okay et al., 2022) و حاشیه فعل اقماری نابالغ به کمان ماگمایی حاشیه قاره‌ای معمولی تغییر ماهیت می‌دهد (شکل A-7). در پاسخ به افزایش سبرای پوسته و فشارزدایی، قطعه فرورونده شکسته (شکل C-7 و D) و نازک شدگی پوسته ۴۰ کیلومتر، ۱۱۳ در برابر Zr در برابر Rb/Sr، تشابهاتی دیده می‌شود (Zirben et al., 2011; Okay et al., 2022). بررسی‌های زمین‌شیمیایی (Verdel et al., 2011; Okay et al., 2022) و حاشیه فعل اقماری نابالغ به کمان ماگمایی حاشیه قاره‌ای معمولی تغییر ماهیت می‌دهد (شکل A-7). در پاسخ به افزایش سبرای پوسته و فشارزدایی، قطعه فرورونده شکسته (شکل C-7 و D) و نازک شدگی پوسته ۴۰ کیلومتر، ۱۱۳ در برابر Zr در برابر Rb/Sr، تشابهاتی دیده می‌شود (Zirben et al., 2011; Okay et al., 2022). بررسی‌های زمین‌شیمیایی (Verdel et al., 2011; Okay et al., 2022) و حاشیه فعل اقماری نابالغ به کمان ماگمایی حاشیه قاره‌ای معمولی تغییر ماهیت می‌دهد (شکل A-7). در پاسخ به افزایش سبرای پوسته و فشارزدایی، قطعه فرورونده شکسته (شکل C-7 و D) و نازک شدگی پوسته ۴۰ کیلومتر، ۱۱۳ در برابر Zr در برابر Rb/Sr، تشابهاتی دیده می‌شود (Zirben et al., 2011; Okay et al., 2022). بررسی‌های زمین‌شیمیایی (Verdel et al., 2011; Okay et al., 2022) و حاشیه فعل اقماری نابالغ به کمان ماگمایی حاشیه قاره‌ای معمولی تغییر ماهیت می‌دهد (شکل A-7). در پاسخ به افزایش سبرای پوسته و فشارزدایی، قطعه فرورونده شکسته (شکل C-7 و D) و نازک شدگی پوسته ۴۰ کیلومتر، ۱۱۳ در برابر Zr در برابر Rb/Sr، تشابهاتی دیده می‌شود (Zirben et al., 2011; Okay et al., 2022). بررسی‌های زمین‌شیمیایی (Verdel et al., 2011; Okay et al., 2022) و حاشیه فعل اقماری نابالغ به کمان ماگمایی حاشیه قاره‌ای معمولی تغییر ماهیت می‌دهد (شکل A-7). در پاسخ به افزایش سبرای پوسته و فشارزدایی، قطعه فرورونده شکسته (شکل C-7 و D) و نازک شدگی پوسته ۴۰ کیلومتر، ۱۱۳ در برابر Zr در برابر Rb/Sr، تشابهاتی دیده می‌شود (Zirben et al., 2011; Okay et al., 2022). بررسی‌های زمین‌شیمیایی (Verdel et al., 2011; Okay et al., 2022) و حاشیه فعل اقماری نابالغ به کمان ماگمایی حاشیه قاره‌ای معمولی تغییر ماهیت می‌دهد (شکل A-7). در پاسخ به افزایش سبرای پوسته و فشارزدایی، قطعه فرورونده شکسته (شکل C-7 و D) و نازک شدگی پوسته ۴۰ کیلومتر، ۱۱۳ در برابر Zr در برابر Rb/Sr، تشابهاتی دیده می‌شود (Zirben et al., 2011; Okay et al., 2022). بررسی‌های زمین‌شیمیایی (Verdel et al., 2011; Okay et al., 2022) و حاشیه فعل اقماری نابالغ به کمان ماگمایی حاشیه قاره‌ای معمولی تغییر ماهیت می‌دهد (شکل A-7). در پاسخ به افزایش سبرای پوسته و فشارزدایی، قطعه فرورونده شکسته (شکل C-7 و D) و نازک شدگی پوسته ۴۰ کیلومتر، ۱۱۳ در برابر Zr در برابر Rb/Sr، تشابهاتی دیده می‌شود (Zirben et al., 2011; Okay et al., 2022). بررسی‌های زمین‌شیمیایی (Verdel et al., 2011; Okay et al., 2022) و حاشیه فعل اقماری نابالغ به کمان ماگمایی حاشیه قاره‌ای معمولی تغییر ماهیت می‌دهد (شکل A-7). در پاسخ به افزایش سبرای پوسته و فشارزدایی، قطعه فرورونده شکسته (شکل C-7 و D) و نازک شدگی پوسته ۴۰ کیلومتر، ۱۱۳ در برابر Zr در برابر Rb/Sr، تشابهاتی دیده می‌شود (Zirben et al., 2011; Okay et al., 2022). بررسی‌های زمین‌شیمیایی (Verdel et al., 2011; Okay et al., 2022) و حاشیه فعل اقماری نابالغ به کمان ماگمایی حاشیه قاره‌ای معمولی تغییر ماهیت می‌دهد (شکل A-7). در پاسخ به افزایش سبرای پوسته و فشارزدایی، قطعه فرورونده شکسته (شکل C-7 و D) و نازک شدگی پوسته ۴۰ کیلومتر، ۱۱۳ در برابر Zr در برابر Rb/Sr، تشابهاتی دیده می‌شود (Zirben et al., 2011; Okay et al., 2022). بررسی‌های زمین‌شیمیایی (Verdel et al., 2011; Okay et al., 2022) و حاشیه فعل اقماری نابالغ به کمان ماگمایی حاشیه قاره‌ای معمولی تغییر ماهیت می‌دهد (شکل A-7). در پاسخ به افزایش سبرای پوسته و فشارزدایی، قطعه فرورونده شکسته (شکل C-7 و D) و نازک شدگی پوسته ۴۰ کیلومتر، ۱۱۳ در برابر Zr در برابر Rb/Sr، تشابهاتی دیده می‌شود (Zirben et al., 2011; Okay et al., 2022). بررسی‌های زمین‌شیمیایی (Verdel et al., 2011; Okay et al., 2022) و حاشیه فعل اقماری نابالغ به کمان ماگمایی حاشیه قاره‌ای معمولی تغییر ماهیت می‌دهد (شکل A-7). در پاسخ به افزایش سبرای پوسته و فشارزدایی، قطعه فرورونده شکسته (شکل C-7 و D) و نازک شدگی پوسته ۴۰ کیلومتر، ۱۱۳ در برابر Zr در برابر Rb/Sr، تشابهاتی دیده می‌شود (Zirben et al., 2011; Okay et al., 2022). بررسی‌های زمین‌شیمیایی (Verdel et al., 2011; Okay et al., 2022) و حاشیه فعل اقماری نابالغ به کمان ماگمایی حاشیه قاره‌ای معمولی تغییر ماهیت می‌دهد (شکل A-7). در پاسخ به افزایش سبرای پوسته و فشارزدایی، قطعه فرورونده شکسته (شکل C-7 و D) و نازک شدگی پوسته ۴۰ کیلومتر، ۱۱۳ در برابر Zr در برابر Rb/Sr، تشابهاتی دیده می‌شود (Zirben et al., 2011; Okay et al., 2022). بررسی‌های زمین‌شیمیایی (Verdel et al., 2011; Okay et al., 2022) و حاشیه فعل اقماری نابالغ به کمان ماگمایی حاشیه قاره‌ای معمولی تغییر ماهیت می‌دهد (شکل A-7). در پاسخ به افزایش سبرای پوسته و فشارزدایی، قطعه فرورونده شکسته (شکل C-7 و D) و نازک شدگی پوسته ۴۰ کیلومتر، ۱۱۳ در برابر Zr در برابر Rb/Sr، تشابهاتی دیده می‌شود (Zirben et al., 2011; Okay et al., 2022). بررسی‌های زمین‌شیمیایی (Verdel et al., 2011; Okay et al., 2022) و حاشیه فعل اقماری نابالغ به کمان ماگمایی حاشیه قاره‌ای معمولی تغییر ماهیت می‌دهد (شکل A-7). در پاسخ به افزایش سبرای پوسته و فشارزدایی، قطعه فرورونده شکسته (شکل C-7 و D) و نازک شدگی پوسته ۴۰ کیلومتر، ۱۱۳ در برابر Zr در برابر Rb/Sr، تشابهاتی دیده می‌شود (Zirben et al., 2011; Okay et al., 2022). بررسی‌های زمین‌شیمیایی (Verdel et al., 2011; Okay et al., 2022) و حاشیه فعل اقماری نابالغ به کمان ماگمایی حاشیه قاره‌ای معمولی تغییر ماهیت می‌دهد (شکل A-7). در پاسخ به افزایش سبرای پوسته و فشارزدایی، قطعه فرورونده شکسته (شکل C-7 و D) و نازک شدگی پوسته ۴۰ کیلومتر، ۱۱۳ در برابر Zr در برابر Rb/Sr، تشابهاتی دیده می‌شود (Zirben et al., 2011; Okay et al., 2022). بررسی‌های زمین‌شیمیایی (Verdel et al., 2011; Okay et al., 2022) و حاشیه فعل اقماری نابالغ به کمان ماگمایی حاشیه قاره‌ای معمولی تغییر ماهیت می‌دهد (شکل A-7). در پاسخ به افزایش سبرای پوسته و فشارزدایی، قطعه فرورونده شکسته (شکل C-7 و D) و نازک شدگی پوسته ۴۰ کیلومتر، ۱۱۳ در برابر Zr در برابر Rb/Sr، تشابهاتی دیده می‌شود (Zirben et al., 2011; Okay et al., 2022). بررسی‌های زمین‌شیمیایی (Verdel et al., 2011; Okay et al., 2022) و حاشیه فعل اقماری نابالغ به کمان ماگمایی حاشیه قاره‌ای معمولی تغییر ماهیت می‌دهد (شکل A-7). در پاسخ به افزایش سبرای پوسته و فشارزدایی، قطعه فرورونده شکسته (شکل C-7 و D) و نازک شدگی پوسته ۴۰ کیلومتر، ۱۱۳ در برابر Zr در برابر Rb/Sr، تشابهاتی دیده می‌شود (Zirben et al., 2011; Okay et al., 2022). بررسی‌های زمین‌شیمیایی (Verdel et al., 2011; Okay et al., 2022) و حاشیه فعل اقماری نابالغ به کمان ماگمایی حاشیه قاره‌ای معمولی تغییر ماهیت می‌دهد (شکل A-7). در پاسخ به افزایش سبرای پوسته و فشارزدایی، قطعه فرورونده شکسته (شکل C-7 و D) و نازک شدگی پوسته ۴۰ کیلومتر، ۱۱۳ در برابر Zr در برابر Rb/Sr، تشابهاتی دیده می‌شود (Zirben et al., 2011; Okay et al., 2022). بررسی‌های زمین‌شیمیایی (Verdel et al., 2011; Okay et al., 2022) و حاشیه فعل اقماری نابالغ به کمان ماگمایی حاشیه قاره‌ای معمولی تغییر ماهیت می‌دهد (شکل A-7). در پاسخ به افزایش سبرای پوسته و فشارزدایی، قطعه فرورونده شکسته (شکل C-7 و D) و نازک شدگی پوسته ۴۰ کیلومتر، ۱۱۳ در برابر Zr در برابر Rb/Sr، تشابهاتی دیده می‌شود (Zirben et al., 2011; Okay et al., 2022). بررسی‌های زمین‌شیمیایی (Verdel et al., 2011; Okay et al., 2022) و حاشیه فعل اقماری نابالغ به کمان ماگمایی حاشیه قاره‌ای معمولی تغییر ماهیت می‌دهد (شکل A-7). در پاسخ به افزایش سبرای پوسته و فشارزدایی، قطعه فرورونده شکسته (شکل C-7 و D) و نازک شدگی پوسته ۴۰ کیلومتر، ۱۱۳ در برابر Zr در برابر Rb/Sr، تشابهاتی دیده می‌شود (Zirben et al., 2011; Okay et al., 2022). بررسی‌های زمین‌شیمیایی (Verdel et al., 2011; Okay et al., 2022) و حاشیه فعل اقماری نابالغ به کمان ماگمایی حاشیه قاره‌ای معمولی تغییر ماهیت می‌دهد (شکل A-7). در پاسخ به افزایش سبرای پوسته و فشارزدایی، قطعه فرورونده شکسته (شکل C-7 و D) و نازک شدگی پوسته ۴۰ کیلومتر، ۱۱۳ در برابر Zr در برابر Rb/Sr، تشابهاتی دیده می‌شود (Zirben et al., 2011; Okay et al., 2022). بررسی‌های زمین‌شیمیایی (Verdel et al., 2011; Okay et al., 2022) و حاشیه فعل اقماری نابالغ به کمان ماگمایی حاشیه قاره‌ای معمولی تغییر ماهیت می‌دهد (شکل A-7). در پاسخ به افزایش سبرای پوسته و فشارزدایی، قطعه فرورونده شکسته (شکل C-7 و D) و نازک شدگی پوسته ۴۰ کیلومتر، ۱۱۳ در برابر Zr در برابر Rb/Sr، تشابهاتی دیده می‌شود (Zirben et al., 2011; Okay et al., 2022). بررسی‌های زمین‌شیمیایی (Verdel et al., 2011; Okay et al., 2022) و حاشیه فعل اقماری نابالغ به کمان ماگمایی حاشیه قاره‌ای معمولی تغییر ماهیت می‌دهد (شکل A-7). در پاسخ به افزایش سبرای پوسته و فشارزدایی، قطعه فرورونده شکسته (شکل C-7 و D) و نازک شدگی پوسته ۴۰ کیلومتر، ۱۱۳ در برابر Zr در برابر Rb/Sr، تشابهاتی دیده می‌شود (Zirben et al., 2011; Okay et al., 2022). بررسی‌های زمین‌شیمیایی (Verdel et al., 2011; Okay et al., 2022) و حاشیه فعل اقماری نابالغ به کمان ماگمایی حاشیه قاره‌ای معمولی تغییر ماهیت می‌دهد (شکل A-7). در پاسخ به افزایش سبرای پوسته و فشارزدایی، قطعه فرورونده شکسته (شکل C-7 و D) و نازک شدگی پوسته ۴۰ کیلومتر، ۱۱۳ در برابر Zr در برابر Rb/Sr، تشابهاتی دیده می‌شود (Zirben et al., 2011; Okay et al., 2022). بررسی‌های زمین‌شیمیایی (Verdel et al., 2011; Okay et al., 2022) و حاشیه فعل اقماری نابالغ به کمان ماگمایی حاشیه قاره‌ای معمولی تغییر ماهیت می‌دهد (شکل A-7). در پاسخ به افزایش سبرای پوسته و فشارزدایی، قطعه فرورونده شکسته (شکل C-7 و D) و نازک شدگی پوسته ۴۰ کیلومتر، ۱۱۳ در برابر Zr در برابر Rb/Sr، تشابهاتی دیده می‌شود (Zirben et al., 2011; Okay et al., 2022). بررسی‌های زمین‌شیمیایی (Verdel et al., 2011; Okay et al., 2022) و حاشیه فعل اقماری نابالغ به کمان ماگمایی حاشیه قاره‌ای معمولی تغییر ماهیت می‌دهد (شکل A-7). در پاسخ به افزایش سبرای پوسته و فشارزدایی، قطعه فرورونده شکسته (شکل C-7 و D) و نازک شدگی پوسته ۴۰ کیلومتر، ۱۱۳ در برابر Zr در برابر Rb/Sr، تشابهاتی دیده می‌شود (Zirben et al., 2011; Okay et al., 2022). بررسی‌های زمین‌شیمیایی (Verdel et al., 2011; Okay et al., 2022) و حاشیه فعل اقماری نابالغ به کمان ماگمایی حاشیه قاره‌ای معمولی تغییر ماهیت می‌دهد (شکل A-7). در پاسخ به افزایش سبرای پوسته و فشارزدایی، قطعه فرورونده شکسته (شکل C-7 و D) و نازک شدگی پوسته ۴۰ کیلومتر، ۱۱۳ در برابر Zr در برابر Rb/Sr، تشابهاتی دیده می‌شود (Zirben et al., 2011; Okay et al., 2022). بررسی‌های زمین‌شیمیایی (Verdel et al., 2011; Okay et al., 2022) و حاشیه فعل اقماری نابالغ به کمان ماگمایی حاشیه قاره‌ای معمولی تغییر ماهیت می‌دهد (شکل A-7). در پاسخ به افزایش سبرای پوسته و فشارزدایی، قطعه فرورونده شکسته (شکل C-7 و D) و نازک شدگی پوسته ۴۰ کیلومتر، ۱۱۳ در برابر Zr در برابر Rb/Sr، تشابهاتی دیده می‌شود (Zirben et al., 2011; Okay et al., 2022). بررسی‌های زمین‌شیمیایی (Verdel et al., 2011; Okay et al., 2022) و حاشیه فعل اقماری نابالغ به کمان ماگمایی حاشیه قاره‌ای معمولی تغییر ماهیت می‌دهد (شکل A-7). در پاسخ به افزایش سبرای پوسته و فشارزدایی، قطعه فرورونده شکسته (شکل C-7 و D) و نازک شدگی پوسته ۴۰ کیلومتر، ۱۱۳ در برابر Zr در برابر Rb/Sr، تشابهاتی دیده می‌شود (Zirben et al., 2011; Okay et al., 2022). بررسی‌های زمین‌شیمیایی (Verdel et al., 2011; Okay et al., 2022) و حاشیه فعل اقماری نابالغ به کمان ماگمایی حاشیه قاره‌ای معمولی تغییر ماهیت می‌دهد (شکل A-7). در پاسخ به افزایش سبرای پوسته و فشارزدایی، قطعه فرورونده شکسته (شکل C-7 و D) و نازک شدگی پوسته ۴۰ کیلومتر، ۱۱۳ در برابر Zr در برابر Rb/Sr، تشابهاتی دیده می‌شود (Zirben et al., 2011; Okay et al., 2022). بررسی‌های زمین‌شیمیایی (Verdel et al., 2011; Okay et al., 2022) و حاشیه فعل اقماری نابالغ به کمان ماگمایی حاشیه قاره‌ای معمولی تغییر ماهیت می‌دهد (شکل A-7). در پاسخ به افزایش سبرای پوسته و فشارزدایی، قطعه فرورونده شکسته (شکل C-7 و D) و نازک شدگی پوسته ۴۰ کیلومتر، ۱۱۳ در برابر Zr در برابر Rb/Sr، تشابهاتی دیده می‌شود (Zirben et al., 2011; Okay et al., 2022). بررسی‌های زمین‌شیمیایی (Verdel et al., 2011; Okay et al., 2022) و حاشیه فعل اقماری نابالغ به کمان ماگمایی حاشیه قاره‌ای معمولی تغییر ماهیت می‌دهد (شکل A-7). در پاسخ به افزایش سبرای پوسته و فشارزدایی، قطعه فرورونده شکسته (شکل C-7 و D) و نازک شدگی پوسته ۴۰ کیلومتر، ۱۱۳ در برابر Zr در برابر Rb/Sr، تشابهاتی دیده می‌شود (Zirben et al., 2011; Okay et al., 2022). بررسی‌های زمین‌شیمیایی (Verdel et al., 2011; Okay et al., 2022) و حاشیه فعل اقماری نابالغ به کمان ماگمایی حاشیه قاره‌ای معمولی تغییر ماهیت می‌دهد (شکل A-7). در پاسخ به افزایش سبرای پوسته و فشارزدایی، قطعه فرورونده شکسته (شکل C-7 و D) و نازک شدگی پوسته ۴۰ کیلومتر، ۱۱۳ در برابر Zr در برابر Rb/Sr، تشابهاتی دیده می‌شود (Zirben et al., 2011; Okay et al., 2022). بر



شکل ۹-نمودار (ppm) La (ppm) در برابر (ppm) Co (ppm) بر اساس زمین‌شیمی سنجک کل مگنتیت (OSNACA, 2020; Skirrow, 2022) در خاور کوه دم.

Figure 9. La (ppm) vs. Co (ppm) diagram for geochemical discrimination of subtypes of IOCG and ISCG deposits based on whole-rock geochemical data in magnetite ore in the East Kuh-e Dom (OSNACA, 2020; Skirrow, 2022).

مرز میان سنجک‌های آهکی با مجموعه گرانیتوییدی خاور کوه دم می‌باشد. بر اساس ویژگی‌های بافتی، کانی شناسی و داده‌های زمین‌شیمی‌ای عناصر اصلی و فرعی، مجموعه گرانیتوییدی خاور کوه دم سرشت شوشوستی داشته و بدنبال فرورانش اقیانوس تیس نو در یک محیط حاشیه فعال قاره شکل گرفته است. آشیانه ماگمایی مولد گرانیتوییدها در ژرفای پیشتر و ناشی از ذوب پوسته زیرین بازیک در پاسخ به افزایش ستبرای پوسته‌ای و گسیختگی قطعه فرورونده (شکل ۷- C و D) است که در طی مهاجرت ماگما به ترازهای بالاتر از طریق گسل‌های پی‌سنگی، آلاش پوسته‌ای پیدا کرده است. به عبارتی دیگر ماگمای اویله به وجود آورنده این گرانیتوییدها از ذوب بخشی گوشته سنجک کره‌ای اسپیتل پریدوتیت با کمی گارنن و غنی از فلوگوپیت ایجاد شده است. از آنجا که ویژگی‌های شیمی‌ای مجموعه گرانیتوییدی شباهت زیادی با دیگر توده‌های همراه با اسکارن‌های آهن دنیا ندارد (اطفا به بخش پیشین مراجعه شود) بنظر این توده‌های درونی بخشی از سامانه ماگمایی- گرمابی بزرگتری هستند که در منطقه کانی‌سازی اکسید آهن مس- طلا را به وجود آورده‌اند. بر پایه کمبود سولفید در منطقه، گسترش رخمنونهای مگنتیت و هماتیت که در شواهد صحرایی و نقشه مغناطیس سنجه مشخص شد، و همچنین تعیین محیط زمین‌ساختی و سنجک شناسی گرانیتوییدهای بخش خاوری، نظریه دوم که توسط طالع فاضل و همکاران (Tale Fazel et al., 2015) برای طلا کوه دم بیان شده (شکل ۱- B)، برای ناحیه کوه دم محتمل تر است، از این رو پیشنهاد می‌شود کانی‌سازی اسکارن آهن منطقه خاور کوه دم متعلق به یک سامانه پورفیری نمی‌باشد، هر چند برای تایید آن، به اطلاعات پیشتری در زمینه گسترش دگرسانی منطقه و ویژگی‌های فیزیکو‌شیمی‌ای سیال کانه‌دار نیاز می‌باشد.

از نگاه کانی‌شناسی، کانسارهای اسکارن آهن وابسته به کمان ماگمایی غنی از کانی‌های گارنن، کلینوپپروکسن و آمفیبول هستند در حالی که کانسارهای اسکارن وابسته به سامانه‌های اکسید آهن که در شرایط زمین‌ساختی برخورده‌اند می‌آیند این گونه نیستند (Zhao et al., 2017). در کانسارهای اسکارنی وابسته به سامانه‌های اکسید آهن، کانی‌های منیزیم کلریت، تربه‌مولیت و کلینوپپروکسن) در مقایسه با دگرسانی‌های سلیم، کلسیم، آهن و پتانسیم گسترش کمتری دارند (Meinert et al., 2005). همچنین حضور کانی‌های آپاتیت، فلوریت و باریت در آنها بیشتر است. سامانه‌های IOCG نوع آند علیرغم شباهت‌های نسبی که با سامانه‌های پورفیری دارند، از لحاظ کانی‌شناسی پنهانه‌های دگرسانی، تفاوت‌های روشنی با پورفیری دارند که عبارتند از گسترش بیشتر دگرسانی سدیک، فراوانی کمتر کوارتز هیدروترمالی و مقادیر بیشتر کانی‌های مگنتیت، کربنات و آپاتیت (Skirrow et al., 2022).

۱۱- نتیجه‌گیری

کانسار آهن خاور کوه دم، در پنهانه زمین‌ساختاری ایران مرکزی قرار دارد. داده‌های مغناطیس سنجه، یک ناهنجاری شدید در مرکز محدوده، منطبق با مرز سنجک‌های آهکی با توده‌های گراندیبوریتی نشان می‌دهد. ابعاد ناهنجاری مربوط به کانی‌سازی مگنتیتی در حدود ۲۰۰ متر در ۱۰۰ متر می‌باشد که باید از نظر اقتصادی مورد بررسی دقیق تری قرار گیرد. دومین ناهنجاری همراه با کانه‌زایی، در باخته محدوده باشد پایین تر و طول موج کوتاه‌تر است. دیگر ناهنجاری‌های دیده شده دارای شدت کم و طول موج بلند هستند که مرتبط با سنجک‌های آتشفسانی هستند. بررسی‌های این پژوهش حاکی از اسکارن زایی در

سپاسگزاری

از زیبایی مواد معدنی و تمامی افرادی که در این پژوهش نقش داشته اند صمیمانه تشکر می شود. همچنین نویسنده گان از سردبیر محترم مجله و داوران محترم فصلنامه علوم زمین به دلیل بیان نکات سازنده، کمال تشکر را دارند.

این مقاله مستخرج از پایان نامه نویسنده اول و در ارتباط با طرح پژوهشی ۱۲۱ به شماره ۴۸۷۹۸۷۸ به تاریخ ۱۳۹۹/۱۱/۴ دانشگاه اصفهان است که با حمایت شرکت فولاد مبارکه اصفهان انجام شده است، لذا از پشتیبانی مدیریت محترم اکتشافات و

کتابنگاری

- آقاباتی، س.ع، زمین شناسی ایران، انتشارات سازمان زمین شناسی ایران، تهران، ۵۸۳ صفحه.
- ریعی، ا.، ۱۳۸۵، اکتشافات ژئوشیمیایی ناحیه کوه دم و بررسی ژنز اندیس طلای آن، پایان نامه کارشناسی ارشد، دانشکده علوم، دانشگاه تربیت معلم تهران، ۱۲۶ ص.
- سرجوقیان، ف.، کنعانیان، ع. و احمدیان، ج.، ۱۳۹۱، کاربرد شیمی پیروکسن در ارزیابی دما و فشار مجموعه نفوذی کوه دم، مجله پترولوزی، سال سوم، شماره ۱۱، ص ۹۷-۱۱۰ .https://ijp.ui.ac.ir/article_16104_5faaf913fca25230b5e9bdd747586d4f.pdf
- سرجوقیان، ف.، کنعانیان، ع.، اثنی عشری، ا. و احمدیان، ج.، ۱۳۹۴، سنجی توده نفوذی کوه دم، دایکها و آنکلاوهای موجود در آن به روش اورانیم - سرب، فصلنامه علوم زمین، سال بیست و چهارم، شماره ۹۵، ص ۱۵۴-۱۵۴ .<https://doi.org/10.22071/gsj.2015.42422>
- شاهزیدی، م.، موید، م.، مودن، م. و احمدیان، ج.، ۱۳۸۷، کانی شناسی، دما - فشار سنجی و تعیین زنجیره مگمایی سنگ های آتشفشاری کوه دم، اردستان، مجله بلور شناسی و کانی شناسی ایران، سال شانزدهم، شماره ۳، ص ۴۸۵-۴۸۵ .<https://www.researchgate.net/profile/Mohsen-Moayyed/publication/287196570>
- شرکت تهیه و تولید مواد معدنی ایران، ۱۳۸۸، مطالعات اکتشافات تفضیلی آنومالی های طلا و مس منطقه کوه دم.
- شرکت مهندسین مشاور پیچاپ کاوش، ۱۳۷۹، گزارش مطالعات طرح اکتشافات نیمه تفضیلی طلای کوه دم، اردستان، استان اصفهان.
- طالع فاضل، ا.، ۱۳۹۳، موقعیت تکتونوماگمایی و ترکیب سیال کانه ساز رخداد عناصر آهن (مس- طلا- بیسموت- نقره) منطقه پی جویی کوه دم، مجموعه فلز زایی انارک، دانشکده علوم زمین، دانشگاه خوارزمی، تهران، ۲۲۳ ص.
- طباطبائی منش، س.م.، محمود آبادی، ل. و میرلوحی، ا.س.، ۱۳۹۲، بررسی ژئوشیمی سنگ های آتشفشاری اونسن جنوب غرب جندق (شمال شرق اصفهان)، مجله پترولوزی، سال چهارم، شماره ۱۴، ص ۷۹-۹۲ .https://ijp.ui.ac.ir/article_16136_0dca8e5a407cc7a6c119ee6e8063dc44.pdf
- فرنگی، ش.، ۱۴۰۱، بررسی شکل گیری و خاستگاه سیال های کانه ساز آهن در منطقه اکتشافی خاور کوه دم، شمال شرق اردستان. پایان نامه کارشناسی ارشد، دانشگاه اصفهان، ایران.
- فرنگی، ش.، احمدی روحا نی، ر. و اعلمی نی، ز.، ۱۴۰۰، بررسی رخداد آهن با استفاده از تکییک های دور سنجی بر روی داده های لندست، استر و سنتبل-۲ در شمال خاور زواره، اصفهان، سیزدهمین همایش ملی و اولین همایش بین المللی انجمن زمین شناسی اقتصادی ایران، ۱۷ تا ۱۸ شهریور، دانشگاه لرستان، ایران.
- کنعانیان، ع.، سرجوقیان، ف. و احمدیان، ج.، ۱۳۸۷، منش آنکلاوهای میکرو گرانولار در توده گرانیتوبیدی کوه دم، شمال شرق اردستان، مجله پژوهشی دانشگاه اصفهان (علوم پایه)، جلد ۳۰، شماره ۱، ص ۱۳۹-۱۶۶ .https://jos.ut.ac.ir/article_27992.html
- کنعانیان، ع.، سرجوقیان، ف.، احمدیان، ج. و میرزاده، ح.، ۱۳۸۸، پتروژنز توده گرانیتوبیدی کوه دم، شمال شرق اردستان، مجله علوم دانشگاه تهران، جلد سی و چهارم، شماره ۲، ص ۴۱-۵۳ .https://jos.ut.ac.ir/article_27992.html
- مهرابی، ب.، طالع فاضل، ا. و طباخ شعبانی، ا.ع.، ۱۳۹۳، بررسی ژئوشیمی سنگ کل به منظور مطالعه و تکییک دگرسانی های گرمایی منطقه پی جویی آهن- مس (+طلا) کوه دم، مجله زمین شناسی کاربردی پیشرفته، ایران مرکزی، شماره ۱۱، ص ۵۸-۷۴ .https://aag.scu.ac.ir/article_10884.html

References

- Aghanabati, A., 2004. *Geology of Iran*. Geological Survey of Iran, Tehran, 586 p. (in persian)
- Aldanmaz, E., Pearce, J.A., Thirlwall, M.F., and Mitchell, J.G., 2000. Petrogenetic evolution of late Cenozoic, post-collision volcanism in western Anatolia. Turkey, Journal of Volcanology and Geothermal Research, 102, 67-95, [https://doi.org/10.1016/S0377-0273\(00\)00182-7](https://doi.org/10.1016/S0377-0273(00)00182-7).
- Aistov, L., Melnikov, B., Krivyakin, B., Morozov, L., Kiristaev, V., and Romanko, E., 1984. Geology of the Khur Arrioea (Central Iran), Geol. Surv. Iran, Rep. TE, No. 20.
- Bagheri, S., and Stampfli, G.M., 2008. The Anarak, Jandaq and Posht-e-Badam metamorphic complexes in central Iran: new geological data, relationships and tectonic implications. Tectonophysics 451, 123–155, <https://doi.org/10.1016/j.tecto.2007.11.047>.
- Baldwin, J.A., and Pearce, J.A., 1982. Discrimination of productive and nonproductive porphyritic intrusions in the Chilean Andes. Economic Geology, 77(3), 664-674, <https://doi.org/10.2113/gsecongeo.77.3.664>.
- Brown, G.C., Cassidy, J., Locke, C.A., Plant, J.A., and Simpson, P.R., 1981. Caledonian plutonism in Britain: A summary. J. Geophys. Res, 86, 10502–10514, <https://doi.org/10.1002/9781118782057.ch22>.
- Castro, A., Aghazadeh, M., Badrzadeh, Z., and Chichorro, M., 2013. Late Eocene-Oligocene post-collisional monzonitic intrusions from the Alborz magmatic belt, NW Iran. An example of monzonite magma generation from a metasomatized mantle source. Lithos, 180, 109-127, <https://doi.org/10.1016/j.lithos.2013.08.003>.
- Conceição, R.V., and Green, D.H., 2004. Derivation of potassic (shoshonitic) magmas by decompression melting of phlogopite + pargasite Iherzolite. Lithos, 72, 209–229, <https://doi.org/10.1016/j.lithos.2003.09.003>.

- Defant, M.J., and Drummond, M.S., 1990. Derivation of some modern arc magmas by melting of young subducting lithosphere. *Nature*, 347, 662–665, <https://doi.org/10.1038/347662a0>.
- Dentith, M., and Mudge, S., 2014. *Geophysics for the Mineral Exploration Geoscientist*. Cambridge: Cambridge University Press. <https://doi:10.1017/CBO9781139024358>.
- DePaolo, D.J., and Daley, E.E., 2000. Neodymium isotopes in basalts of the southwest basin and range and lithospheric thinning during continental extension. *Chemical Geology*, 169(1-2): 157-185, [https://doi.org/10.1016/S0009-2541\(00\)00261-8](https://doi.org/10.1016/S0009-2541(00)00261-8).
- Frost, B.R., Barnes, C.G., Collins, W.J., Arculus, R.J., Ellis, D.J., and Frost, C.D., 2001. A geochemical classification for granitic rocks. *Journal of Petrology* 42, 2033–2048, <https://doi.org/10.1093/petrology/42.11.2033>.
- Farangi, SH., 2023, Investigation of formation and the origin of mineralizing fluids in the East of Kuh-e Dom Fe district, northeast of Ardestan. Master thesis in economic geology, Isfahan university, Iran. (in persian)*
- Farangi, SH, Ahmadiroohani, R., Alaminia, Z., 2021, Investigation of iron occurrence using Landsat 8, ASTAR and Sentinel 2 satellites remote sensing techniques in the NE Zavareh, Isfahan. The 13th national conference and the first international conference of the Economic Geology association of iran, Lorestan university. (in persian)*
- Furman, T., and Graham, D., 1999. Erosion of lithospheric mantle beneath the East African Rift system: Geochemical evidence from the Kivu volcanic province: *Lithos*, 48, 237–262, doi:10.1016/S0024-4937(99)00031-6.
- Ghasemi, A., and Talbot, C.J., 2006. A new tectonic scenario for the Sanandaj-Sirjan Zone (Iran). *Journal of Asian Earth Sciences*, 26(6), 683-693, <https://doi.org/10.1016/j.jseas.2005.01.003>.
- Ghazi, J.M., Moazzen, M., Rahgoshay, M., and Moghadam, H.S., 2012. Geochemical characteristics of basaltic rocks from the Nain ophiolite (Central Iran); constraints on mantle wedge source evolution in an oceanic back arc basin and a geodynamical model. *Tectonophysics*, 574, 92-104, <https://doi.org/10.1016/j.tecto.2011.10.001>.
- Ghiorso, M.S., and Sack, R.O., 1995. Chemical mass transfer in magmatic processes. IV. A revised and internally consistent thermodynamic model for the interpolation and extrapolation of liquid–solid equilibria in magmatic systems at elevated temperatures and pressures. *Contributions to mineralogy and petrology* 119, 197–212, <https://doi.org/10.1007/BF00307281>.
- Goli, Z., Torabi, G., and Arai, S., 2021. High-K calc-alkaline Eocene volcanic rocks from the Anarak area (Central Iran): A key structure for the early stages of oceanic basin closure and the beginning of collision. *Geotectonics*, 55(4), 600-617, <https://doi.org/10.1134/S0016852121040075>.
- Gorton, M. P., and Schandl, E. S., 2000. From continents to island arcs: A geochemical index of tectonic setting for arc-related and within-plate felsic to intermediate volcanic rocks. *Canadian Mineralogist*, 38, 1065–1073, <https://doi.org/10.2113/gscanmin.38.5.1065>.
- Groves, D.I., Bierlein, F.P., Meinert, L.D., and Hitzman, M.W., 2010. Iron oxide copper-gold (IOCG) deposits through Earth history: Implications for origin, lithospheric setting, and distinction from other epigenetic iron oxide deposits: *Economic Geology and the Bulletin of the Society of Economic Geologists*, 105, 641–654, doi:10.2113/gsecongeo.105.3.641.
- Gualda, G.A.R., Ghiorso, M., Lemons, R.V., and Carley, T.L., 2012. Rhyolite-MELTS: a Modified Calibration of MELTS Optimized for Silica-rich, Fluid-bearing Magmatic Systems. *Journal of Petrology* 53, 875–890, <https://doi.org/10.1093/petrology/egr080>.
- Hawkesworth, C., Kelley, S., Turner, S., Le Roex, A., and Storey, B., 1999. Mantle processes during Gondwana break-up and dispersal. *Journal of African Earth Sciences*, 28(1), 239-261. [https://doi.org/10.1016/S0899-5362\(99\)00026-3](https://doi.org/10.1016/S0899-5362(99)00026-3).
- Hofmann, A., Jochum, K., Seufert, M., and White, M., 1986. Nb and Pb in oceanic basalts: New constraints on mantle evolution. *Earth and Planetary Science Letter*, 33, 33–33, 45, [https://doi.org/10.1016/0012-821X\(86\)90038-5](https://doi.org/10.1016/0012-821X(86)90038-5).
- Hole, M. J., Saunders, A. D., Marriner, G. F., and Tarney, J. T., 1984. Subduction of pelagic sediments: implications for the origin of Ce-anomalous basalts from Mariana Islands. *J. Geol. Soc. London* 141, 453–472, <https://doi.org/10.1144/gsjgs.141.3.0453>.
- Holtmann, R., Muñoz-Montecinos, J., Angiboust, S., Cambeses, A., Bonnet, G., Brown, A., Dragovic, B., Gharamohammadi, Z., Rodriguez, M., Gladny, J., and Kananian, A., 2022. Cretaceous thermal evolution of the closing Neo-Tethyan realm revealed by multi-method petrochronology. *Lithos*, 106731, <https://doi.org/10.1016/j.lithos.2022.106731>.
- Hou, Z.Q., Gao, Y.F., Meng, X.J., Qu, X.M., and Huang, W., 2004. Genesis of adakitic porphyry and tectonic controls on the Gangdese Miocene porphyry copper belt in the Tibetan orogen. *Acta Petrologica Sinica* 20, 239–248 (in Chinese with English abstract), <https://www.researchgate.net/publication/279572227>.
- Hou, Z.Q., Zhong, D.L., Deng, W.M., and Khin Zaw, 2005. A tectonic model for porphyry copper-molybdenum gold deposits in the eastern Indo-Asian collision zone. In: Porter, T.M. (Ed.), *Super Porphyry Copper and Gold Deposits- A Global Perspective*. PGC Publishing, Adelaide, 423–440.

- Hofmann, A., Jochum, K., Seufert, M., White, M., 1986. Nb and Pb in oceanic basalts: New constraints on mantle evolution. *Earth and Planetary Science Letter*, 33, 33–33, 45, [https://doi.org/10.1016/0012-821X\(86\)90038-5](https://doi.org/10.1016/0012-821X(86)90038-5).
- IMPASCO (Iran Minerals Production and Supply Corporation), 2011. Reports on the prospecting exploration of Kuh-e Dom area. Ministry of Mines and Metals, Republic Islamic of Iran (unpublished)*, 440 p. (in persian)
- Kananian, A., Sarjoughian, F., Nadimi, A., Ahmadian, J., and Ling, W., 2014. Geochemical characteristics of the Kuh-e Dom intrusion, Urumieh–Dokhtar Magmatic Arc (Iran): Implications for source regions and magmatic evolution. *Journal of Asian Earth Sciences*, 90, 137–148, <https://doi.org/10.1016/j.jseas.2014.04.026>.
- Kananian, A., Sarjoughiyan, F., Ahmadian, J., 2008. Origin of microgranular enclaves in Kuh-e Dom granodioritic intrusion, NE Ardestan. Isfahan University Basic Sciences Research Journal, 1(30), 166-139 (in persian)*
- Kananian, A., Sarjoughian, F., Mirnejad, H., 2009. Petrogenesis of Kuh-e Dom granitoid intrusion, NE Ardestan. Journal of Sience, University of Tehran, 34(2), 41-53. (in persian)*
- Kuscu, G. G., Kuşcu, R. M., Tosdal, T. D., and Ulrich, R. F., 2010. Magmatism in the southeastern Anatolian orogenic belt: transition from arc to post-collisional setting in an evolving orogeny. In *Sedimentary Basin Tectonics from the Black Sea and Caucasus to the Arabian Platform* (Sosson, M., Kaymakci, N., Stephenson, R. A., Bergerat, F. & Starostenko, V., eds), Geological Society of London, Special Publications, 340, 437–460, <https://doi.org/10.1144/SP340.19>.
- Mehrabi, B., Tale Fazel, E., Tabbakh Shabani, A. A., 2014. Whole rock geochemical techniques for discrimination of hydrothermal alteration of the Kuh-e Dom Fe-Cu(±Au) prospect. *Faculty of Earth Sciences*, 4(11), 74-58, <https://aag.scu.ac.ir/article10884-.html>. (in persian)
- McDonough, W.F., and Sun, S.S., 1995. The composition of the Earth: Chemical Geology, 120, 223-253, [https://doi.org/10.1016/0009-2541\(94\)00140-4](https://doi.org/10.1016/0009-2541(94)00140-4).
- Mehrabi, B., and Rabiee, A., 2005. Au-Bi-Cu mineralization in Kuh-e Dom gold deposit, north of Ardestan. 13th symposium of Iranian society of crystallography and mineralogy, Bahonar University of Kerman, 120–126. (in persian)*
- Meinert, L., 1995. Compositional variation of igneous rocks associated with skarn deposits -Chemical evidence for a genetic connection between petrogenesis and mineralization, in Thompson, J.F., ed., *Magmas, fluids, and ore deposits: Mineralogical Association of Canada, Short Course Series*, 23, 401–418.
- Meinert, L.D., Dipple, G.M., and Nicolescu, S., 2005. World skarn deposits. In: Hedenquist, J. W., Thompson, J.F.H., Goldfarb, R.J., Richards, J.P. (Eds.), *One Hundredth Anniversary Volume*. Society of Economic Geologists. <https://doi.org/10.5382/AV100.11>.
- Middlemost, E. A. K., 1994. Naming materials in the magma/igneous rock system. *Earth-Science Review*, 37, 215–224, [https://doi.org/10.1016/0012-8252\(94\)90029-9](https://doi.org/10.1016/0012-8252(94)90029-9).
- Moghadam, H.S., Whitechurch, H., Rahgoshay, M. and Monsef, I., 2009. Significance of Nain-Baft ophiolitic belt (Iran): Short-lived, transtensional Cretaceous back-arc oceanic basins over the Tethyan subduction zone. *Comptes Rendus Geoscience*, 341(12), 1016-1028, <https://doi.org/10.1016/j.crte.2009.06.011>.
- Moyen, J.F., 2009. High Sr/Y and La/Yb ratios: the meaning of the “adakitic signature”. *Lithos*, 112(3-4), 556-574, <https://doi.org/10.1016/j.lithos.2009.04.001>.
- Müller, D., Rock, N.M.S., and Groves, D.I., 1992. Geochemical discrimination between shoshonitic and potassic volcanic rocks in different tectonic settings: a pilot study. *Mineralogy and Petrology*, 46(4), 259-289, <https://doi.org/10.1007/BF01173568>.
- Nabelek, P. I., Russ-Nabelek, C., and Haeussler, G. T., 1992b. Stable isotope evidence for the petrogenesis and fluid evolution in the Proterozoic Harney Peak leucogranite, Black Hills, South Dakota. *Geochimica et Cosmochimica Acta* 56, 403–17, [https://doi.org/10.1016/0016-7037\(92\)90141-5](https://doi.org/10.1016/0016-7037(92)90141-5).
- Nabelek, P. I., Russ-Nabelek, C., and Denison, J. R., 1992a. The generation and crystallization conditions of the Proterozoic Harney Peak leucogranite, Black Hills, South Dakota, USA: petrologic and geochemical constraints. *Contributions to Mineralogy and Petrology* 110, 173–91, <https://doi.org/10.1007/BF00310737>.
- Nouri, F., Azizi, H., Asahara, Y. and Stern, R.J., 2020. A new perspective on Cenozoic calc-alkaline and shoshonitic volcanic rocks, eastern Saveh (central Iran). *International Geology Review*, 63(4), 476-503, <https://doi.org/10.1080/00206814.2020.1718005>.
- Ohta, T., and Arai, H., 2007. Statistical empirical index of chemical weathering in igneous rocks: A new tool for evaluating the degree of weathering. *Chemical Geology*, 240(3-4), 280-297, <https://doi.org/10.1016/j.chemgeo.2007.02.017>.
- Okay, A.I., Topuz, G., Kylander-Clark, A.R., Sherlock, S., and Zattin, M., 2022. Late Paleocene–Middle Eocene magmatic flare-up in western Anatolia. *Lithos*, 428, 106816, <https://doi.org/10.1016/j.lithos.2022.106816>.

- OSNACA, 2020. Ore samples normalised to average crustal abundance. <http://www.cet.edu.au/projects/ osnaca-ore-samples-normalised-to-average-crustal-abundance>.
- Payjab Kavosh Engineering Geology Consultant, 2000. Sub-detailed exploration report of Kuh-e Dom gold area, Ardestan, Isfahan, Iran. (in persian)*
- Pearce, J. A., and Peate, D. W., 1995. Tectonic implications of the composition of volcanic arc magmas. *Ann. Rev. Earth Planetary Science Letters* 23, 251–285, <https://doi.org/10.1146/annurev.ea.23.050195.001343>.
- Pearce, J. A., 2008. Geochemical fingerprinting of oceanic basalts with applications to ophiolite classification and the search for Archean oceanic crust. *Lithos* 100, 14-48, <https://doi.org/10.1016/j.lithos.2007.06.016>.
- Pearce, J.A., 1983. Role of the subcontinental lithosphere in magma genesis at active continental margins, in Hawkesworth, C.J., and Norry, N.J., eds., *Continental basalts and mantle xenoliths*: Cheshire, UK, Shiva, 230-249, <https://orca.cardiff.ac.uk/id/eprint/8626>.
- Rabiee, A., 2007. Geochemical exploration of the Kuh-e Dom area and genesis of the Kuh-e Dom gold prospect. Master thesis in economic geology, Faculty of Science, Teacher Training University of Tehran, Iran. (in persian)*
- Richards, J. P., Spell, T., Rameh, E., Razique, A., and Fletcher, T., 2012. High Sr/Y magmas reflect arc maturity, high magmatic water content, and porphyry Cu±Mo±Au potential: examples from the Tethyan arcs of central and eastern Iran and western Pakistan. *Econ. Geol.* 107, 295–332, <https://doi.org/10.2113/econgeo.107.2.295>.
- Richards, J.P., 2009. Postsubduction porphyry Cu-Au and epithermal Au deposits: Products of remelting of subduction-modified lithosphere, *Geology*, 37, 247–250, doi:10.1130/G25451A.1, <https://doi.org/10.1130/G25451A.1>.
- Richards, J.P., and Mumin, A.H., 2013. Magmatic-hydrothermal processes within an evolving Earth: Iron oxide-copper-gold and porphyry Cu±Mo±Au deposits. *Geology*, 41(7), 767-770, <https://doi.org/10.1130/G34275.1>.
- Romanko, E., Kokorin, Y.U., Krivyakin, B., Susov, M., Morozov, L., and Sharkovski, M., 1984. Outline of metallogeny of Anarak area (Central Iran): v/o Technoexport. Report. TE/No., 19, 143 p.
- Rudnick, R. L., and Gao, S., 2003. The composition of the continental crust. In R. L. Rudnick (Ed.), *The crust treatise on geochemistry*, 3, 1–64. UK: Oxford: Elsevier Pergamon.
- Rajabi, S., Torabi, G., 2012. Petrology of mantle peridotites and volcanic rocks of the narrowest Mezozoic ophiolitic zone from central Iran (Surk area, Yaz province). *Fur gelogie und palaontologie*, 265, 49-78, <https://doi.org/10.1127/0077-7749/2012/0245>.
- Sarjoughian, F., Kananian, A., Ahmadian, J., and Murata, M., 2015. Chemical composition of biotite from the Kuh-e Dom pluton, Central Iran: implication for granitoid magmatism and related Cu–Au mineralization. *Arabian Journal of Geosciences*, 8(3), 1521-1533, <https://doi.org/10.1007/s12517-013-1242-5>.
- Sarjoughian, F., Kananian, A., Esna-ashari, A., Ahmadian, J., 2015. U-Pb zircon dating of Kuh-e Dom intrusion, its dikes and enclaves. Scientific Quarterly Journal of Geosciences, 24(95), 145-154, http://doi.org/10.22071/gsj.2015.42422. (in persian)*
- Sarjoughian, F., Kananian, A., Haschke, M., and Ahmadian, J., 2012a. Geochemical signature of Eocene Kuh e Dom shoshonitic dikes in NE Ardestan, Central Iran: implications for melt evolution and tectonic setting. *Journal of Geosciences*, 57(4), 241-264, <http://doi.org/10.3190/jgeosci.126>.
- Sarjoughian, F., Kananian, A., Haschke, M., Ahmadian, J., Ling, W., and Zong, K., 2012b. Magma mingling and hybridization in the Kuh-e Dom pluton, Central Iran. *J Asian Earth Sci*, 54, 49–63, <https://doi.org/10.1016/j.jseas.2012.03.013>.
- Sarjoughian, F., Kananian, A., Ahmadian, J., 2012. Application of pyroxene chemistry for evaluation of temperature and pressure in the Kuh-e Dom intrusion. Petrological journal, 3(11), 97-110. (in persian)*
- Sepidbar, F., Karsli, O., Palin, R.M., and Casetta, F., 2021. Cenozoic temporal variation of crustal thickness in the Urumieh-Dokhtar and Alborz magmatic belts, Iran. *Lithos*, 400, 106401, <https://doi.org/10.1016/j.lithos.2021.106401>.
- Shademan, P., and Torabi, G., 2022. Petrology and geochemistry of Eocene volcanic rocks from southeast of Khur (Isfahan province, Central Iran). *Journal of Economic Geology*, 14(1), 157-184, <https://doi.org/10.22067/econg.2021.68731.1007>.
- Shafaii Moghadam, H., Corfu, F., and Stern, R.J., 2013. U–Pb zircon ages of Late Cretaceous Nain–Dehshir ophiolites, central Iran. *Journal of the Geological Society*, 170(1), 175-184, <https://doi.org/10.1144/jgs2012-066>.
- Shahzeydi, M., Moayyed, M., Moazzen, M., Ahmadian, J., 2008. Mineralogy, thermobarometry and magmatic series of volcanic rocks in Kuh-e Dom, Ardestan. Iranian Journal of Crystallography and Mineralogy, 16(3), 485-504, http://ijcm.ir/article-1-630-fa.html. (in persian)*
- Sharkovski, M., Filichev, I., and Selivanov, E., 1981. Geological map of Kuh-e Dom, scale 1:100000. Geological Survey of Iran.
- Sharkovski, M., Susov, M., Krivyakin, B., Morozov, L., Kiristaev, V., and Romanko, E., 1984. Geology of the Anarak area (Central Iran): Geological Survey of Iran. V/O “Technoexport”, Report TE, (19), 143.

- Skirrow, R.G., 2022. Iron oxide copper-gold (IOCG) deposits—A review (part 1): Settings, mineralogy, ore geochemistry and classification. *Ore Geology Reviews*, 140, 104569, <https://doi.org/10.1016/j.oregeorev.2021.104569>.
- Tabatabaei manesh, S. M., Mahmoodabadi, L., Mirlohi, A. S., 2013. *Geochemistry of the Eocene volcanic rocks in the SW of Jandaq (NE of Isfahan province). Petrological journal*, 4(14), 79-92, https://ijp.ui.ac.ir/article_16136_0dca8e5a407cc7a6c119ee6e8063dc44.pdf (in persian)
- Tale Fazel, E., Mehrabi, B., and Tabbakh Shabani, A.A., 2015. Kuh-e Dom Fe–Cu–Au prospect, Anarak metallogenic complex, Central Iran: a geological, mineralogical and fluid inclusion study. *Mineralogy and Petrology*, 109(1), 115–141, <http://doi:10.1007/s00710-014-0354-2>.
- Tale Fazel, E., 2014. *The tectonomagmatic setting and ore-forming fluid composition of Kuh-e Dom Fe(±Cu-Au-Bi-Ag) prospect, Anarak metallogenic complex. Phd thesis in Kharazmi university of Tehran.* (in persian)
- Technoexport, 1979. Integrated Geophysical Studies in Anarak Area, Central Iran, Ministry of Mines and Industries Geological and Mineral Survey of Iran.
- Technoexport, 1981. Report on detailed geological prospecting in Anarak area (Central Iran), Kuh e Dom, Rizab-e Maryam, Chah Alikhan Locations, Report No. 9, Ministry of Mines and Industries Geological and Mineral Survey of Iran.
- Torabi, G., 2009. Subduction-related Eocene shoshonites from the Cenozoic Urumieh-Dokhrat magmatic arc (Qaleh Khargooshi area, West of the Yazd province, Iran). *Turkish Journal of Earth Sciences*, 18(4), 583-613, <http://doi:10.3906/yer-0711-2>.
- Torabi, G., 2011. Middle Eocene volcanic shoshonites from western margin of Central-East Iranian Microcontinent (CEIM), a mark of previously subducted CEIM-confining oceanic crust. *Petrology*, 19(7), 675-689, <https://doi.org/10.1134/S0869591111030039>.
- Torabi, G., Arai, S., and Abbasi, H., 2014. Eocene continental dyke swarm from Central Iran (Khur area). *Petrology*, 22(6), 617-632, <https://doi.org/10.1134/S086959111406006X>.
- Verdel, C., Wernicke, B.P., Hassanzadeh, J., and Guest, B., 2011. A Paleogene extensional arc flare up in Iran. *Tectonics*, 30(3), <https://doi.org/10.1029/2010TC002809>.
- Whalen, J.B., and Hildebrand, R.S., 2019. Trace element discrimination of arc, slab failure, and A-type granitic rocks. *Lithos*, 348, 105179, <https://doi.org/10.1016/j.lithos.2019.105179>.
- Whitney, D.L., and Evans, B.W., 2010. Abbreviations for names of rock-forming minerals. *American mineralogist*, 95(1), 185-187, <http://www.minsocam.org>.
- Woodhead, J.D., and Johnson, R.W., 1993. Isotope and trace element profile across the New Britain Island arc Papua new guines. *Contrib. Mineral. Petrol.* 113: 479-491.
- Zhao, X.F., Zhou, M.F., Su, Z.K., Li, X.C., Chen, W.T., and Li, J.W., 2017. Geology, geochronology, and geochemistry of the Dahongshan Fe-Cu-(Au-Ag) deposit, southwest China: implications for the formation of iron oxide copper-gold deposits in intracratonic rift settings. *Econ. Geol.* 112 (3), 603–628. <https://doi.org/10.2113/econgeo.112.3.603>, <https://doi.org/10.2113/econgeo.112.3.603>.